



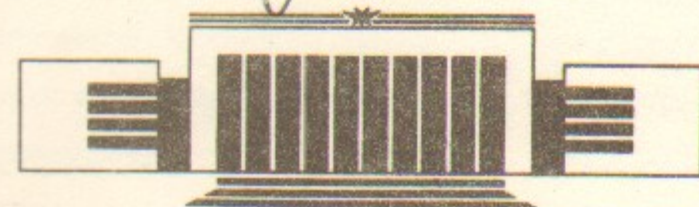
Д 46  
1997

Государственный научный центр  
Российской Федерации  
Институт ядерной физики  
им. Г.И. Будкера

Г.И. Димов

АМБИПОЛЯРНАЯ ЛОВУШКА:  
ЭКСПЕРИМЕНТАЛЬНЫЕ РЕЗУЛЬТАТЫ,  
ПРОБЛЕМЫ И ПЕРСПЕКТИВЫ

ИЯФ 97-65



НОВОСИБИРСК

## АМБИПОЛЯРНАЯ ЛОВУШКА: ЭКСПЕРИМЕНТАЛЬНЫЕ РЕЗУЛЬТАТЫ, ПРОБЛЕМЫ И ПЕРСПЕКТИВЫ

Г.И.Димов

Описываются и анализируются основные экспериментальные результаты на амбиополярных ловушках TMX, TMX-U и GAMMA-10. Обсуждается проблема продольного энергетического удержания электронов с учетом их вторичной эмиссии на плазмоприемниках. Рассматривается задача откачки ионов, захваченных в термобарьер. Приводится аналитический обзор работ по МГД-стабилизации плазмы высокого давления с  $\beta \approx 1$  в осесимметричной амбиополярной ловушке. Обращается внимание на ключевые вопросы, решения которых необходимо для разработки амбиополярного DT-реактора.

В амбиополярной ловушке термоядерная плазма может удерживаться в длинном соленоиде с относительно небольшим магнитным полем около 2 Тл для D-T реакции и 5 Тл для D-<sup>3</sup>He реакции. Вытекание плазмы вдоль магнитного поля может быть предотвращено амбиополярными электрическими барьерами на концах соленоида. При полной аксиальной симметрии амбиополярной ловушки исключаются неоклассические поперечные потери плазмы, а аномальные потери могут существенно подавлены. Благодаря этому можно значительно уменьшить радиус плазмы в реакторе и пропорционально радиусу снизить удельную нейтронную нагрузку на первую стенку при повышенной объемной плотности энерговыделения в плазме.

Диверторы располагаются на концах в расширяющемся магнитном поле, при этом снимается проблема их удельной перегрузки вытекающими из ловушки плазменными потоками. Естественная стационарность и простая геометрия существенно облегчают создание термоядерного реактора.

В соленоиде возможно почти полное вытеснение магнитного поля из плазменного столба приповерхностными диамагнитными токами в этом столбе. Благодаря этому существенно снижаются энергетические потери на магнитотормозное (циклотронное) излучение электронов и становится возможной самоподдерживающаяся D-<sup>3</sup>He термоядерная реакция, для которой необходима высокая температура плазмы около 60 кэВ.

### 1. ОСНОВНЫЕ ЭКСПЕРИМЕНТАЛЬНЫЕ РЕЗУЛЬТАТЫ.

Основные эксперименты были проведены на 3-х крупных амбиополярных (тандемных) ловушках: TMX (LLNL) в 1978-1980 г.г. /1-3/, TMX-U (LLNL) в 1982-1987 г.г. /4-8/ и GAMMA-10 (University of Tsukuba) в 1985-1994 г.г. /9-13/.

1.1. В концевых пробкотронах, пристыкованных к соленоиду, были сформированы амбиополярные барьеры для продольного удержания ионов в соленоиде (ионные барьеры) до 300 В в TMX (1980) /3/, до 1,5 кВ в TMX-U (1984) /8/ и до 2 кВ в GAMMA-10 (1992) /14-15/. При этом в TMX ионные барьеры получались за счет повышенной плотности ионов, замагниченных в концевых пробкотронах. В концевых пробкотронах TMX-U перед ионными барьерами были сформированы термобарьеры. Это отрицательные электрические барьеры для термоизоляции электронов в ионных барьерах от электронов в соленоиде.

Термобарьеры позволили нагревать электроны в ионных барьерах до более высокой температуры и благодаря этому снизить в них плотность замагниченных ионов даже ниже плотности плазмы в соленоиде. К 1986 г. в TMX-U удалось сформировать и поддерживать термобарьеры глубиной до 0.7 кВ длительностью 3-5 мсек /8/. В GAMMA-10 были получены термобарьеры глубиной до 1.3 кВ /16, 15/ длительностью до 60 мсек, ограниченной продолжительностью рабочего цикла /12/.

В экспериментах была продемонстрирована возможность получения очень высоких отношений глубины термобарьеров к электронной температуре в соленоиде  $\frac{\phi_b}{T_{ec}}$ . В ловушке TMX-U наблюдалось отношение  $\frac{\phi_b}{T_{ec}} = 6 - 7/8$ . В

GAMMA-10 наблюдалось формирование термобарьеров с начальной глубиной  $\phi_b \sim 15 T_{ec}$  /16/. Вследствие (в основном) последующего роста электронной температуры отношение  $\frac{\phi_b}{T_{ec}}$  за 20 мсек плавно снижалось до 4-х. Термобарье-

ры создавались в средней плоскости концевых пробкотронов ЭЦР-нагревом электронов на 2-ой гармонике до поперечной температуры в десятки кэВ и выше. Однако доля удерживаемых в средней плоскости магнитным полем  $\mu$ -электронов с такой температурой, непревышающая 80% /8, 17/, недостаточна для создания термобарьеров указанной выше глубины. Эксперимент с выключением ЭЦР-нагрева на TMX-U показал, что наряду с указанными высокознергичными  $\mu$ -электронами термобарьеры поддерживают  $\mu$ -электроны с поперечной температурой 1-2 кэВ /8/. В работах /18, 19/ показано, что в термобарьерах GAMMA-10 кроме электронной популяции с температурой около 60 кэВ имеется популяция электронов с температурой в несколько кэВ, которая поступает из ионных барьера, где она нагревается на 1-ой гармонике ЭЦР. Когда наблюдается формирование термобарьеров с очень высоким отношением  $\frac{\phi_b}{T_{ec}}$ , сумма популяций электронов с высокой в десятки кэВ и низкой в несколько кэВ температурой должна быть близкой к 100%. Следует отметить, что в основных режимах работы ловушки глубина термобарьеров составляла 4-5  $T_{ec}$ .

Продольное время удержания частиц плазмы амбиполярными барьераами было значительно увеличено по сравнению с удержанием магнитными проб-

ками. Максимальное такое увеличение было 9-кратным в TMX (1980) /3/, 50-кратным в TMX-U (1987) /8/ и 1000-кратным в GAMMA-10 (1988) /10, 11/. В экспериментах неоднократно было показано, что продольное удержание частиц в соленоиде является классическим в соответствии с формулой Пастухова в широком диапазоне параметров /8, 10, 12, 14/.

В экспериментах на амбиполярных ловушках имел место значительный прогресс в повышении параметра удержания частиц  $n\tau_p$ , как это показано на рис.1.

Наилучшие полученные параметры удерживаемой в центральной части ловушки изотропной плазмы достигнуты на GAMMA-10 в 1990 г. /11/.

Значения этих параметров в приосевой области следующие:

Плотность плазмы $n_c$	$4 \times 10^{12} \text{ см}^{-3}$
Продольное время удержания частиц $\tau_{p  }$	2 сек.
Ионный амбиполярный барьер $\phi_c$	1.7 кВ.
Глубина термобарьера $\phi_b$	1.1 кВ.
Электронная температура $T_{ec}$	250 эВ.
Температура изотропных ионов $T_{ic}$	450 эВ.

Время удержания  $\tau_{p||}$  указано по рис. 3 из /11/. Приведенные параметры плазмы, наилучшие по  $n\tau_p$ ,  $T_{ec}$  и  $T_{ic}$ , получены почти одновременно. При приведенном значении  $n\tau_{p||} \sim 0.8 \times 10^{13} \text{ см}^{-3}\text{сек}$  температура изотропных ионов при  $\phi_c = 1.7$  кВ не должна превышать 320 эВ (по формуле Пастухова).

Плотность амбиполярно удерживаемой плазмы ограничивалась 2-мя факторами:

1) Низкая плотность плещущихся ионов в ионных барьерах. По данным, приведенным ранее в /9/, эта плотность была около  $6 \times 10^{11} \text{ см}^{-3}$ . Полная плотность плазмы в ионных барьерах превышала эту величину вследствие ионизации поступающего в плазму газа при мощном ЭЦР-нагреве этой плазмы. Тем не менее полная плотность плазмы в барьерах была ограничена, а достигнутое отношение плотности изотропной плазмы в соленоиде к плотности плазмы в ионных барьерах не превышает ~ 2.5.

2) Низкий предел величины  $\beta$  по МГД-устойчивости изотропной плазмы в центральном соленоиде GAMMA-10 на уровне 0.5%.

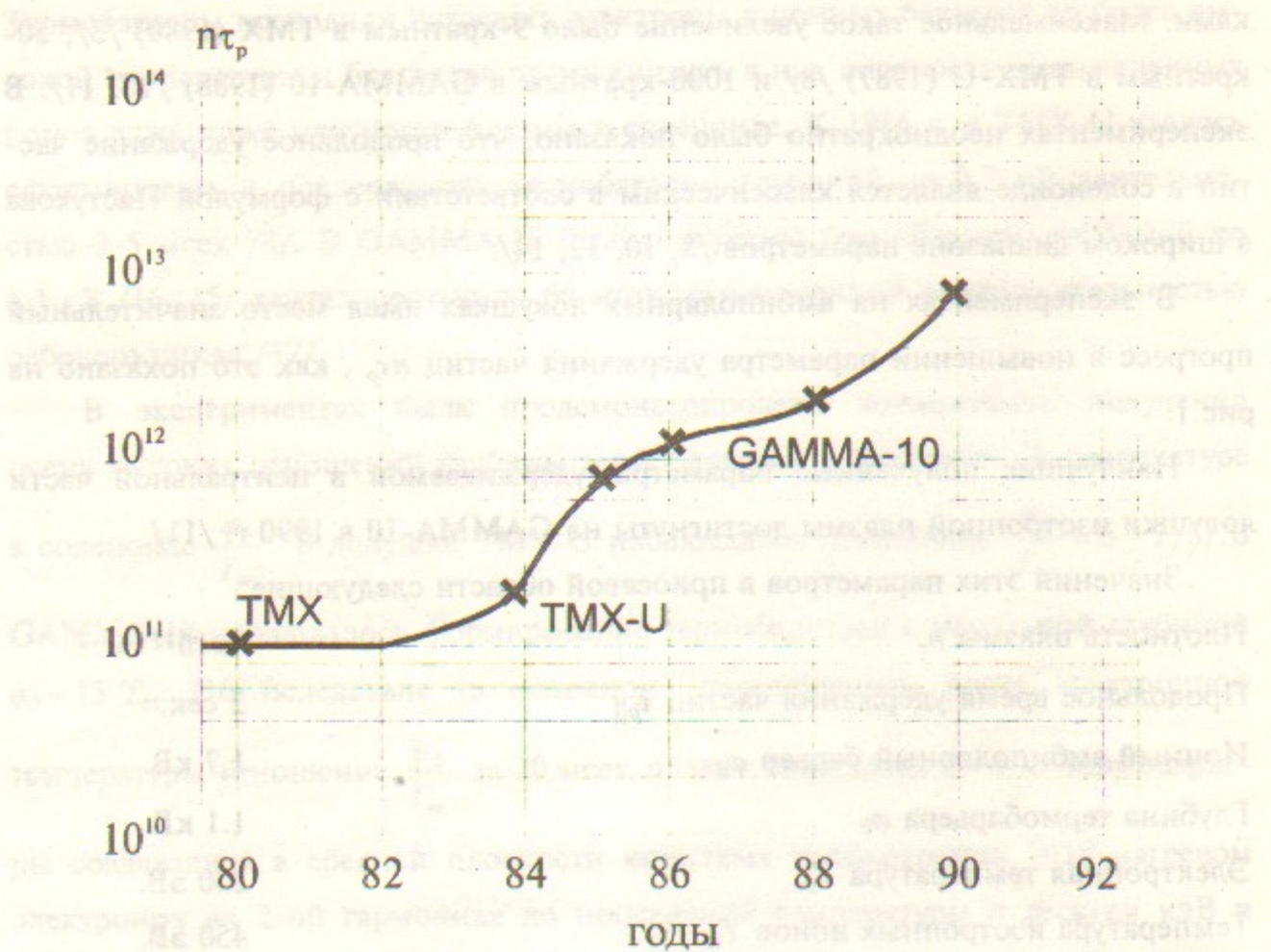


Рис.1. Рост параметра удержания частиц плазмы  $n_t_p \text{ см}^{-3} \text{ сек}$ .

Без хорошего амбиополярного удержания плазмы во всех указанных выше ловушках достигалась более высокая плотность анизотропной плазмы в соленоиде выше  $10^{13} \text{ см}^{-3}$  с высокой поперечной ионной температурой от 2.5 до 5.6 кэВ /3, 8, 11/. Максимальная поперечная ионная температура в 10 кэВ (при плотности  $2 \times 10^{12} \text{ см}^{-3}$ ) была достигнута в соленоиде GAMMA-10 в 1994 г. /13/. Максимальная электронная температура в 280 эВ была достигнута в ловушке TMX-U /8/. Максимальное значение  $\beta$  в 40% наблюдалось в соленоиде ловушки TMX в 1980 г. /3/.

1.2. Аномальные поперечные потери плазмы в соленоиде связаны с развитием низкочастотной дрейфовой неустойчивости. Эта неустойчивость в соленоиде GAMMA-10 была детально исследована методом дифракции Фраунгофера /20, 21/. Наблюдались дрейфовые волны, которые возбуждались на периферии в области максимального радиального градиента плотности с азиму-

тальной фазовой скоростью электронного диамагнитного дрейфа с доплеровским сдвигом из-за  $E \times B$ -вращения плазмы. Диапазон наблюдаемых частот 10-180 кГц. Наблюдались азимутальные моды от 2-ой до 9-ой. Уровень флюктуаций плотности зависел от шири радиального электрического поля, был около 10% при нулевом шире и снижался до 1-2% при увеличении шири независимо от его знака. Радиальное электрическое поле регулировалось управлением потенциалами секционированных по радиусу концевых приемников плазмы.

Одновременно были проведены измерения поперечного времени жизни частиц в плазменном керне в зависимости от шири радиального поля, которые соответствовали теоретическим оценкам по уровню флюктуаций. Максимальное время радиального удержания  $\tau_{p\perp} \sim 0.6$  сек измерено при плотности плазмы около  $0.5 \times 10^{12} \text{ см}^{-3}$ , температуре ионов 500-800 эВ и температуре электронов 60-120 эВ /21/. При этом градиентный радиус плазмы  $a$  был около 12 см. Соответствующее значение  $\tau_{p\perp}/\tau_{Bohm} \sim (2-3) \times 10^4$ , где  $\tau_{Bohm} = \frac{8eB}{3cT} a^2$ ,  $B \approx 4$  кГс. Ранее в /10/, где подробнее описана процедура измерения  $\tau_{p\perp}$  в соленоиде GAMMA-10, приведено значение  $\tau_{p\perp} > 0.5$  сек в керне плазмы с радиусом 8 см, плотностью около  $10^{12} \text{ см}^{-3}$ , с поперечной и продольной ионной температурой около 1.8 и 0.1 кэВ, соответственно. Градиентный радиус  $a$  был около 8 см. Если принять  $T \sim T_{i\perp}$ , то в этом случае  $\tau_{i\perp}/\tau_{Bohm} > 10^5$ .

Приведенное в /11/ энергетическое время жизни изотропных ионов  $\tau_{ie} \sim 0.6$  сек при плотности плазмы  $4 \times 10^{12} \text{ см}^{-3}$  не выглядит достаточно обоснованным. Тем не менее, если исходить из приведенного в /11/ измеренного значения  $\tau_{i\parallel} \sim 2$  сек (вероятно на оси) и принять  $\tau_{ie\parallel} = \frac{3}{2} \frac{\tau_{i\parallel}}{1 + \frac{\phi_c}{T_{ic}}}$  по Пастухову, то при температуре изотропных ионов, близкой к температуре электронов в 250 эВ, когда передачей энергии изотропными ионами электронам можно пренебречь, можно оценить  $\tau_{ie\parallel}$ . При  $T_{ic} \sim 250$  эВ из формулы Пастухова для  $n_{t\parallel}$  находим  $\phi_c \sim 1.4$  кВ, соответственно  $\tau_{ie\parallel} \sim 0.45$  сек. Поперечные потери частиц в плазменном керне диаметром 16 см много меньше продольных /10/. Поэтому можно полагать, что в приосевой области мог достигаться параметр удержания энергии ионов  $n_{t\parallel} \sim 1.8 \times 10^{12} \text{ см}^{-3}$  сек.

В /16,19/ приводятся результаты измерений энергетического времени жизни основной популяции электронов  $\tau_{ee}$  в центральной части ловушки GAMMA-10 между термобарьерами с температурой около 100 эВ и плотностью  $(0.5-1) \times 10^{12} \text{ см}^{-3}$ . Учитывался нагрев электронов горячими ионами в центральном соленоиде и высокотемпературными электронами, проникающими в область между термобарьерами из концевых пробкотронов, где осуществляется ЭЦР-нагрев. Концентрация электронов с высокой температурой 4 кэВ была около 1%. По более поздним измерениям высокотемпературная популяция электронов в соленоиде имела температуру 3 кэВ с плотностью в 2% от полной плотности электронов /15/. Максимальное время удержания энергии электронов в приосевой области  $\tau_{ee} \sim 0.5$  сек получено при достаточно глубоких термобарьерах  $\phi_b \geq 9T_{ec}$ . Однако скорость энергетических потерь электронов вычислена из разности на порядок более высоких скоростей нарастания энергосодержания и нагрева электронов. Поэтому точность определения высоких значений  $\tau_{ee}$  очень плохая. Из отмеченной на рис. 19 в /19/ возможной ошибки следует, что  $\max \tau_{ee} > 0.1$  сек.

Измеренная в /19/ зависимость  $\tau_{ee}$  от  $T_{ec}$  и  $\phi_b$  совпадает с энергетическим временем удержания электронов термобарьерами по классической формуле Пастухова. Это может быть объяснено тем, что электроны, ушедшие через термобарьеры, при прохождении ионных барьеров нагреваются сильным СВЧ-полем в них за один пролет до высокой температуры около 1 кэВ и выше и выбывают из основной популяции электронов с температурой  $T_{ec} \sim 100$  эВ.

Если принять, что максимальное измеренное в /19/ энергетическое время удержания электронов  $\tau_{ee} \sim 0.5$  сек при  $\phi_b \geq 9T_{ec}$  определяется в основном аномальными поперечными потерями, то при градиентном радиусе плазмы  $a \sim 8$  см и температуре электронов  $T_{ec} \sim 100$  эВ получаем для электронов отношение  $\frac{\tau_{ee}}{\tau_{Bohm}} \sim 10^4$ , которое только на порядок меньше достигнутого отношения  $\frac{\tau_{IL}}{\tau_{Bohm}} \sim 10^5$  для ионов.

Следует отметить, что в /22/ измерялись энергетические времена удержа-

ния всех ионов со средней энергией около 3 кэВ и электронов с температурой около 100 эВ в центральном соленоиде ловушки GAMMA-10 в режиме, при котором амбиполярное продольное удержание было чрезвычайно слабым:  $\phi_c \sim T_{ic}$  и  $\phi_b \sim 5T_{ec}$ . Измеренные в этом режиме времена удержания  $\tau_{ie} \sim 7$  мсек и  $\tau_{ee} \sim 2$  мсек определяются только плохим продольным удержанием и не могут быть отнесены к аномальным поперечным потерям.

1.3. Высокотемпературные популяции электронов, формируемые в концевых пробкотронах ЭЦР-нагревом, имеют не очень большое время жизни и являются источниками быстрых электронов в ловушке. Высокоэнергичная популяция электронов в термобарьеере с температурой  $T_{eh} \gg \phi_b E$  образуется ЭЦР-нагревом на 2-ой гармонике, удерживается магнитным полем и уходит в конус потерь. В /17-19, 23/ приводятся результаты экспериментальных исследований формирования, геометрии, энергетического спектра и диффузии в конус потерь высокоэнергичной популяции электронов с температурой  $T_{eh} = 50-60$  кэВ в термобарьерах установки GAMMA-10. Высокотемпературные электроны из ионных барьеров могут удерживаться в ловушке как магнитным полем, так и в значительной степени электростатическими барьерами  $\phi_e$ . Как это экспериментально показано в /19/ функция распределения электронов в ионных барьерах установки GAMMA-10 имеет плато с максимальной энергией  $\phi_{pb} \frac{R_{pb}}{R_{pb} - 1} \sim 5.4$  кэВ, что соответствует "сильному" ЭЦР-нагреву этих электронов /24/.

Проводился энергетический анализ электронов, выходящих из ловушки /25/. Наблюдались высокоэнергичные электроны из термобарьера с энергией до 500 кэВ. Более интенсивный поток наблюдался в энергетическом диапазоне до 10 кэВ. Этот поток состоял из высокотемпературных электронов с температурой в диапазоне 2-6 кэВ (в котором регистрировались электроны в соленоиде /16, 19, 15/) и из горячих электронов с температурой 0.5-1 кэВ. Максимальное значение удерживающих электроны потенциалов составляло  $\phi_e \sim 3.7$  кВ /25/. Такая высота электронных барьеров недостаточна для хорошего удержания даже горячих электронов.

Неожиданным отягчающим обстоятельством оказалось наблюдение ин-

тенсивного потока электронов на плазмоприемники с энергией в диапазоне до 10 кэВ, который превосходил поток ионов в 20-100 раз /26-28/. При этом поток горячих электронов с температурой 0.5-1 кэВ преобладал и составлял выше 80% (до 99%) общего потока электронов /28/.

Значительное превышение потока электронов над потоком ионов из ловушки связано, прежде всего, со вторичной электронной эмиссией (ВЭЭ). Коэффициент ВЭЭ при бомбардировке плазмоприемников электронами имеет максимум, превышающий единицу, как раз в области энергии большинства горячих электронов /26/. При температуре вторичных электронов  $\sim 10$  эВ несмотря на большое пробочное отношение магнитного поля в концевой области большинство вторичных электронов, ускоряясь, проникают в концевой пробкотрон. Из рис. 1 в /26/ и рис. 2 в /28/ следует, что в потоке электронов на плазмоприемники не наблюдались низкотемпературные электроны. По видимому, отраженных магнитным полем вторичных электронов с температурой  $\sim 10$  эВ было очень мало или они разогревались какой-либо неустойчивостью. Вторичные электроны за один пролет ионного барьера существенно нагреваются сильным СВЧ-полем и захватываются в концевой пробкотрон. Затем вследствие многократного рассеяния они вылетают из пробкотрона на плазмоприемники. Из-за высокого коэффициента ВЭЭ и слабого отражения вторичных электронов магнитным полем происходит многократное повышение электронных потоков на плазмоприемники и в обратном направлении.

Плотность потока электронов на плазмоприемник и их энергетический спектр измерялись прибором, установленным на боковой линии магнитного поля, сдвинутой примерно на 4 см от оси в центральном соленоиде /25-28/. На рис. 2 представлено типичное распределение потенциала по этой силовой линии в концевой части ловушки по /28/. Важной особенностью этого распределения является превышение потенциала во внешней пробке над потенциалом во внутренней пробке. Вследствие этого в пространстве скоростей пробкотрона, представленном на рис.3б, появляется коническая щель между областью удержания электронов в пробкотроне III и областью пролетных электронов из центральной части ловушки II.

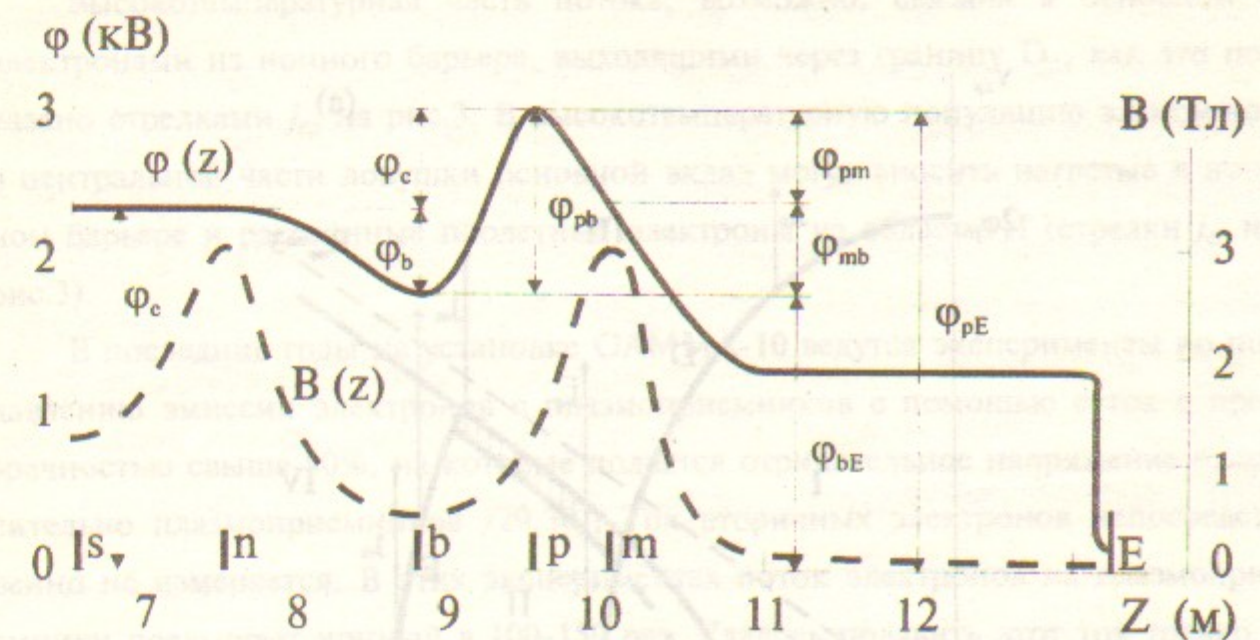


Рис.2. Распределение потенциала по приосевой линии магнитного поля в концевой части ловушки GAMMA-10 по /28/.  $n$  и  $m$  - внутренняя и наружная пробки концевого пробкотрона,  $b$  - термобарьер в средней плоскости концевого пробкотрона,  $p$  - ионный барьер,  $E$  - концевой плазмоприёмник.

При пробочном отношении магнитного поля в концевой области  $R_{mE} = 300$  и распределении потенциала по рис.2 в пробкотрон проникают вторичные электроны с поперечной эмиссионной энергией до 8.6 эВ. Они являются главным источником электронов на поверхности  $E$  (рис.3). При этом их количество нарастает к периферии поверхности  $E$ . Большинство этих электронов за один пролет ионного барьера получают большую поперечную энергию от резонансного СВЧ- поля и захватываются в пробкотрон, как это показано стрелками  $j_{es}$  на рис. 3а. После их многократного рассеяния они могут попасть в коническую щель потерь на плазмоприемник, не проникая в центральную часть ловушки (см. рис.3б). По-видимому, эти нагретые вторичные электроны и составляют основную часть потока электронов на плазмоприемники с температурой до 1 кэВ. Небольшая часть вторичных электронов при пролете ионного барьера может замедляться и попадать с поверхности  $E$  в область II, что будет означать их попадание в центральную часть ловушки.

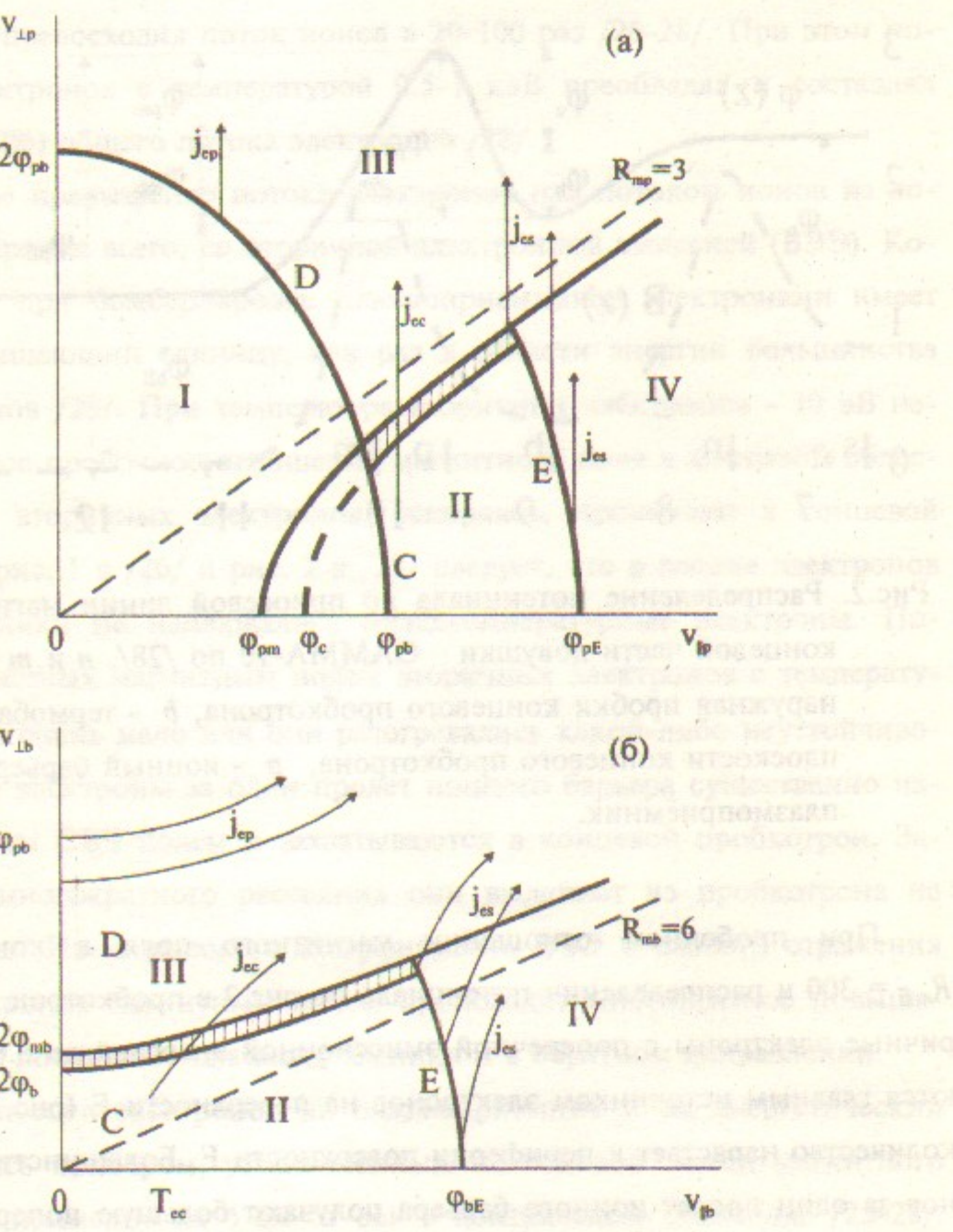


Рис.3. Пространство скоростей электронов в ионном барьере /а/ и в термобарье /б/. Величины характерных скоростей обозначены соответствующими потенциалами по рис.2. I - область захваченных в ионный барьер электронов, II - область пролётных электронов из центральной ловушки, III - область захваченных в концевой пробкотрон электронов, IV - конус потерь на концевой плазмоприёмник. Заштрихована область пролётных электронов только в соседнее запробочное пространство. Стрелками обозначены потоки электронов под воздействием "сильного" ЭЦР-нагрева в ионном барьере.

Высокотемпературная часть потока, возможно, связана в основном с электронами из ионного барьера, выходящими через границу D, как это показано стрелками  $j_{ep}$  на рис.3. В высокотемпературную популяцию электронов в центральной части ловушки основной вклад могут вносить нагретые в ионном барьере и рассеянные пролётные электроны из области II (стрелки  $j_{ec}$  на рис.3).

В последние годы на установке GAMMA-10 ведутся эксперименты по подавлению эмиссии электронов с плазмоприемников с помощью сеток с прозрачностью выше 80%, на которые подается отрицательное напряжение относительно плазмоприемников /29,30/. Ток вторичных электронов непосредственно не измеряется. В этих экспериментах поток электронов на плазмоприемники превышает ионный в 100-150 раз. Удалось подавить этот ток только в 2 раза вместо ожидаемого ослабления примерно в 5 раз. В /31/ сообщается об обнаружении потока холодных ионов на тыльную поверхность плазмоприемников, равного примерно половине потока электронов на плазмоприемники из ловушки. Это означает наличие в концевых пробкотронах ловушки больших поперечных потерь ионов, превышающих в ~50 раз поток ионов на плазмоприемники из ловушки. Возможно это связано с тем, что в последние годы в концевых пробкотронах GAMMA-10 не генерируются плашущиеся ионы, а ионная популяция в ионных барьерах создается ионизацией газа электронами, разогреваемыми мощным СВЧ-полем. Если действительно половина электронного потока из ловушки обязана газовым разрядам в ионных барьерах, то другая половина этого потока, превосходящая поток ионов более чем в 50 раз, является результатом эмиссии вторичных электронов.

Описанные качественные представления о поведении электронов в концевой части ловушки позволяют понять ограниченность электронной температуры в центральном соленоиде ловушки GAMMA-10 и объяснить это относительно небольшим энергетическим временем продольного удержания как электронов основной популяции (для которых в основных режимахдерживающий потенциал  $\phi_b = (4-5) T_{ec}$ ), так и для высокотемпературных электронов с температурой порядка или выше  $\phi_c$  и горячих электронов, для которых поддерживающие потенциалы незначительно превышают температуру.

#### 1.4. Итак, в амбиполярных (тандемных) ловушках TMX, TMX-U и

GAMMA-10 было повышенено продольное удержание частиц в 9...1000 раз по сравнению с классическим пробкотроном. В приосевой области центрального соленоида GAMMA-10 при плотности плазмы  $4 \times 10^{12} \text{ см}^{-3}$  достигнуты параметры удержания  $n\tau_p \sim 0.8 \times 10^{13} \text{ см}^{-3}$  сек и  $n\tau_{ie} \sim 2 \times 10^{12} \text{ см}^{-3}$  сек, которые примерно в 50 раз выше достигнутых в лучшем классическом пробкотроне 2ХПВ /32/. Относительно умеренное повышение параметра  $n\tau_p$  связано с тем, что температура изотропных ионов центрального соленоида GAMMA-10 значительно ниже ионной температуры в 2ХПВ. Достигнуто достаточно высокое поперечное время удержания: максимум  $\tau_{i\perp} \sim 10^5 \tau_{Bohm}$ , максимум  $\tau_{e\perp} > 10^4 \tau_{Bohm}$ .

Достигнутая температура плазмы в центральном соленоиде не достаточно высокая: максимум  $T_{ec} \sim 280$  эВ, максимум температуры изотропных ионов  $T_{ic} \sim 450$  эВ. Это связано с тем, что основная популяция электронов в центральной части ловушки удерживается только термобарьерами, высота которых в основных режимах ловушки не превышает электронные барьеры в классическом пробкотроне. Запробочные электронные барьеры в GAMMA-10 не работают нормально из-за сильного ЭЦР-нагрева электронов в ионных барьерах и вторичной эмиссии электронов из плазмоприемников.

Для улучшения удержания электронов в ловушке GAMMA-10 необходим переход к слабому ЭЦР-нагреву в ионных барьерах и устранение притока газа в эти барьеры. Понижение магнитного поля во внутренних пробках приведет к попаданию быстрых электронов из концевых пробкотронов в центральную ловушку (см. рис. 4), где значительная часть их до ухода в конус потерь успеет потерять энергию до подбарьерной (см. раздел 2). Повышение плотности изотропной плазмы в центральном соленоиде может быть достигнуто увеличением плотности плещущихся ионов в ионных барьерах.

1.5. Кроме приведенных выше основных экспериментальных результатов как на установках TMX, TMX-U и GAMMA-10, так и на других амбиполярных ловушках Phaedrus /33/, Taga /34/ и HIEI /35, 36/ были получены важные результаты по физике удержания и устойчивости плазмы. Обширные исследования по микроустойчивости плазмы проведены на установках TMX и TMX-U /37/ и на установке GAMMA-10 /38, 39/.

В развитии амбиполярной ловушки важнейшую роль сыграли реализации

наклонной инжекции атомарных пучков в пробкотроны /4/, термобарьеров /5/, управления поперечным электрическим полем в плазме /6/ и высокого вакуума с коэффициентом рециклинга водорода на стенках вакуумной камеры, близким к единице /40/. При наклонной инжекции ионов в концевые пробкотроны достигнута, в частности, микроустойчивость в их средней плоскости, где подавлены самые опасные микронеустойчивости: дрейфовоконусная (ДКН) и альфвеновская циклотронная (АИЦН).

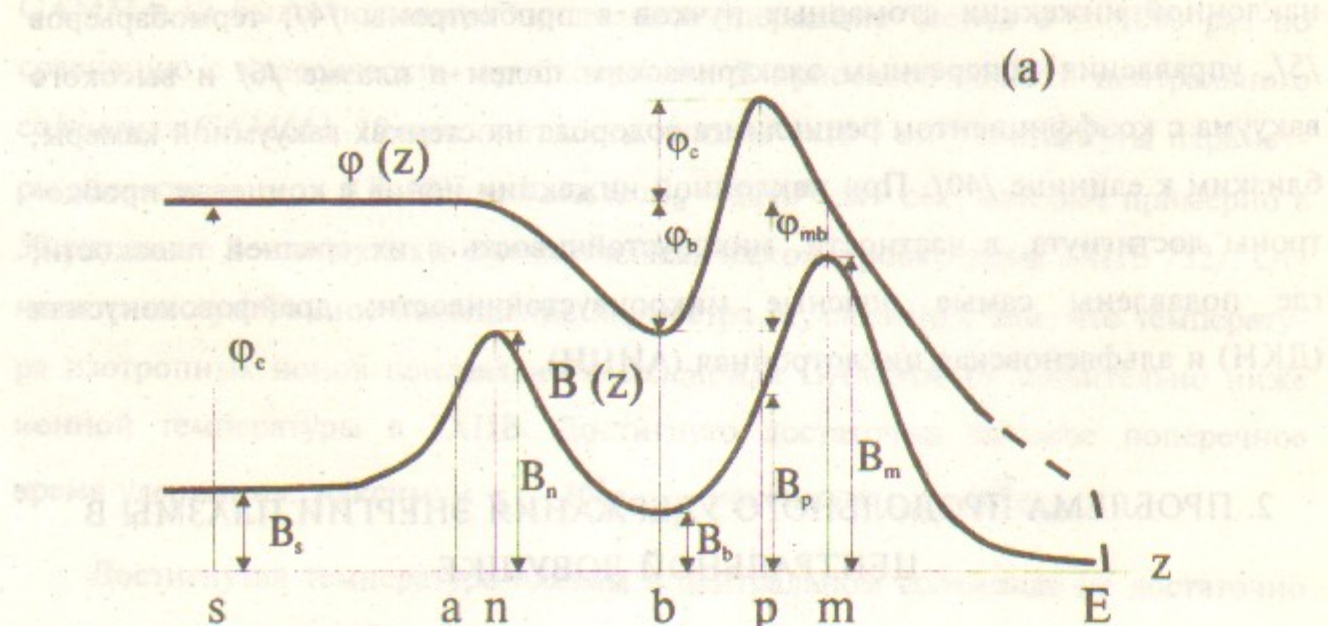
## 2. ПРОБЛЕМА ПРОДОЛЬНОГО УДЕРЖАНИЯ ЭНЕРГИИ ПЛАЗМЫ В ЦЕНТРАЛЬНОЙ ЛОВУШКЕ

Для продольного удержания плазмы в амбиполярной ловушке контролируемо формируются на концах электрические амбиполярные барьеры только для удержания ионов /41/. Намного более подвижные электроны удерживаются автоматически положительным потенциалом плазмы относительно запробочных плазмоприемников. Положительной зарядкой плазмы уходящими электронами этот потенциал подстраивается к значению, при котором обеспечивается равенство потерь электронов и ионов. Ионные барьеры с потенциалом  $\phi_c$  относительно центральной ловушки (соленоида) формируются в концевых пробкотронах в магнитном поле  $B_p > B_s$ , где  $B_s$  - поле в соленоиде. Концевые плазмоприемники находятся в расширенном магнитном поле  $B_E \ll B_s$ . Их потенциал  $\phi_e$ , отрицательный относительно соленоида, удерживает электроны. Плавающий потенциал плазмоприемников обычно отрицательный относительно корпуса ловушки. Коррекцией этого потенциала можно регулировать поперечное распределение потенциала плазмы в соленоиде относительно стенок вакуумной камеры.

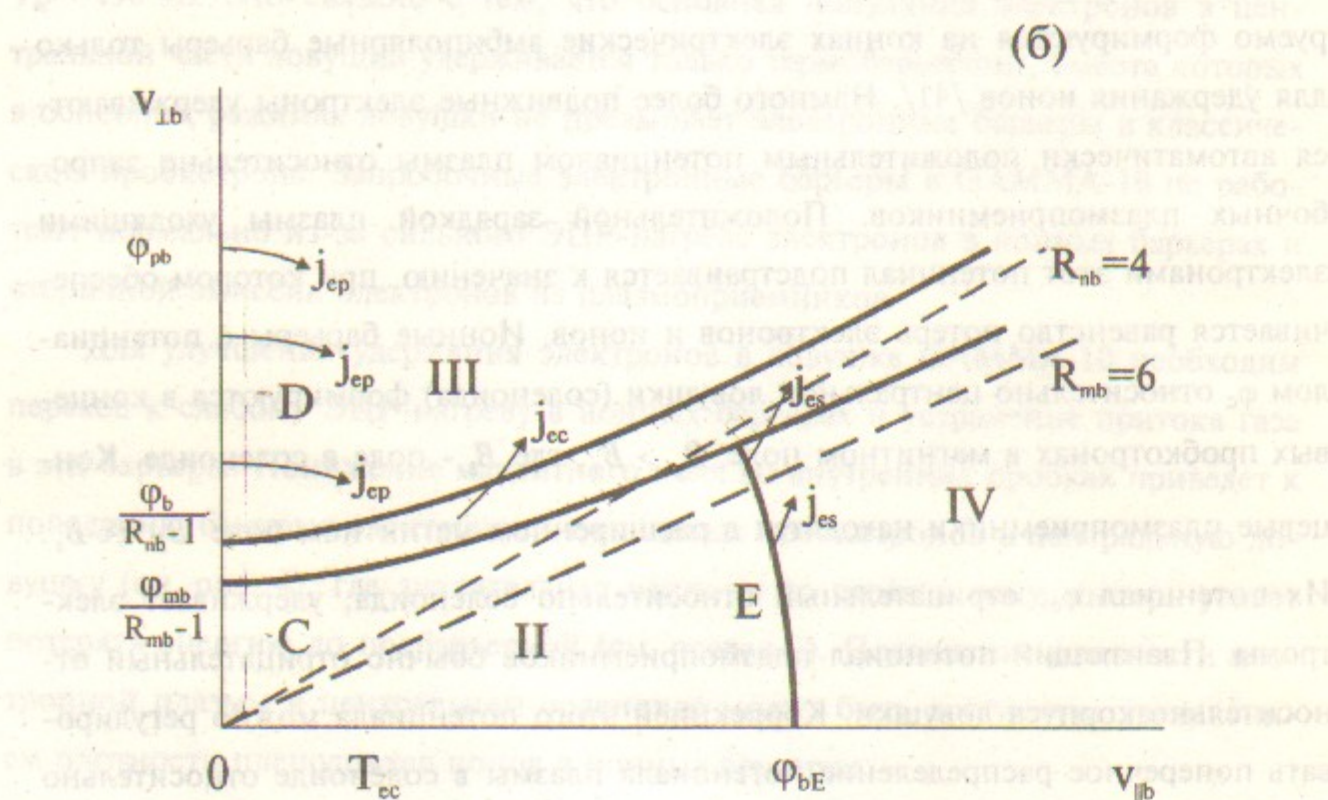
### 2.1. Время продольного удержания ионов в центральной ловушке $\tau_{i\parallel}$ при

$$R_{ps} = \frac{B_p}{B_s} > 1 \text{ определяется формулой Пастухова /42, 43/}$$

$$\tau_{i\parallel} = \frac{\sqrt{\pi}}{2} \tau_{ic} G \left( \frac{R_{ps}}{2} \right) \frac{\phi_c}{T_{ic}} \left( 1 + \frac{T_{ic}}{2\phi_c} \right)^{-1} e^{-\frac{\phi_c}{T_{ic}}}, \quad (1)$$



(a)



(б)

Рис.4. Распределение магнитного поля и потенциала при  $B_n < B_m$  (а) и соответствующее пространство скоростей электронов в термобарье (б). Обозначения по рис.2 и 3. Заштрихована область пролётных электронов только в центральную ловушку. Стрелками обозначены потоки электронов при "слабом" ЭЦР-нагреве в ионном барьере.

$$\text{где } \tau_{ic} = \frac{1}{\pi\sqrt{2}} \frac{\sqrt{M_i}}{e^4 \lambda_i} \frac{1}{n_c} T_{ic}^{3/2}, \quad G(x) = \sqrt{1 + \frac{1}{x}} \ln \frac{\sqrt{1 + \frac{1}{x}} + 1}{\sqrt{1 + \frac{1}{x}} - 1}.$$

Отношение магнитного поля на плазмоприемнике  $B_E$  к полю в соленоиде  $R_{Es} = \frac{B_E}{B_s} \ll 1$ , поэтому время жизни электронов  $\tau_{e\parallel}$  определяется формулой Коена и др. из /45/:

$$\tau_{e\parallel} = \frac{\sqrt{\pi}}{4} \tau_{ec} e^{\frac{\varphi_e}{T_{ec}}}, \quad \text{где } \tau_{ec} = \frac{1}{\pi\sqrt{2}} \frac{\sqrt{m}}{e^4 \lambda_e} \frac{1}{n_c} T_{ec}^{3/2}. \quad (2)$$

При  $\tau_{e\parallel} = \tau_{\parallel} = \tau_{p\parallel}$  и  $T_{ec} = T_{ic} = T_c$  из (1,2) следует

$$\frac{\varphi_c}{T_c} = \frac{\varphi_c}{T_c} + \ln \left[ 2 \sqrt{\frac{M_i}{m}} \frac{\lambda_e}{\lambda_i} G \left( \frac{R_{p3}}{2} \right) \frac{\varphi_c}{T_c} \left( 1 + \frac{T_c}{2\varphi_c} \right)^{-1} \right]. \quad (3)$$

Средняя энергия, выносимая ионом,  $\langle \varepsilon_{i\parallel} \rangle = T_{ic} + \varphi_c$ ; а средняя энергия, уносимая электроном,  $\langle \varepsilon_{e\parallel} \rangle = \varphi_e$ . Продольное энергетическое время жизни плазмы при  $T_{ec} = T_{ic}$

$$\tau_{e\parallel} = \tau_{p\parallel} \frac{3T_c}{\varphi_e + \varphi_c + T_c}. \quad (4)$$

Имея ввиду поперечные энергетические потери плазмы следует принять  $n\tau_{e\parallel} > n\tau_F$ , где  $n\tau_F \approx 1.5 \times 10^{14} \text{ см}^{-3}\text{сек}$  для D-T реактора при температуре  $T_{ic} = 20-25 \text{ кэВ}$  по Лоусону. Условие  $n\tau_{e\parallel} > n\tau_F$  выполняется при высоте ионного барьера  $\varphi_c = (4-4.5) T_c$ . Для  $T_c = 20 \text{ кэВ}$ ,  $n_c = 2 \times 10^{14} \text{ см}^{-3}$  и  $R_{p3} = 2.5$  этим значениям  $\varphi_c$  соответствуют электронные барьеры  $\varphi_e = (10.9-11.8) T_c$  и величины  $n\tau_{e\parallel} = (2-4) \times 10^{14} \text{ см}^{-3}\text{сек}$ . При этом доля энергии, уносимой электронами,  $\frac{\langle \varepsilon_{e\parallel} \rangle}{\langle \varepsilon_{\parallel} \rangle} = \frac{\varphi_e}{\varphi_e + \varphi_c + T_c}$  составляет ~68%.

Создание термобарьеров для электронов между центральной частью ловушки и ионными барьерами, предложенное в /44/, позволяет формировать ионные барьеры при низкой плотности замагниченных ионов в них  $n_p$ , благодаря чему многократно снижается мощность на поддержание замагниченных ионов, пропорциональная  $n_p^2$ .

При "слабом" ЭЦР-нагреве электронов в ионном барьере высота этого барьера  $\varphi_c$  определяется формулой /45, 46/:

$$\Phi_c = \left( \frac{T_{ep}}{T_{ec}} - 1 \right) \phi_b - T_{ep} \ln \left( \gamma \frac{n_c}{n_p} \sqrt{\frac{T_{ec}}{T_{ep}}} \right), \quad (5)$$

где  $T_{ep}$  - температура электронов в ионном барьере,  $\phi_b$  - глубина термобарьера. Коэффициент  $\gamma > 1$  учитывает рассеяние в ионный барьер высокозенергичных электронов из термобарьера /46/. Формула (5) справедлива при  $\exp - \frac{\phi_{pb}}{T_{ep}} \ll 1$  когда кулоновское рассеяние электронов преобладает над их резонансным нагревом. Для выполнения последнего условия необходимо ограничить амплитуду СВЧ-поля в ионном барьере величиной, оцененной в /24/. Формула (5) справедлива как для одиночных барьерных пробкотронов, в которых сочетаются ионный барьер и термобарьер (по рис. 4а), при условии  $R_{pb} < \frac{\phi_{pb}}{T_{ep}}$ , так и

для сдвоенных барьерных пробкотронов по рис. 5 при условии  $R_{hp} \gg \frac{T_{ec}}{\phi_{pb}}$  /45/. В сдвоенных пробкотронах термобарьер и ионный барьер разделены магнитным холмом (см. рис.5) и вследствие этого коэффициент  $\gamma = 1$ .

Обозначения разностей потенциалов  $\phi$  и отношений магнитных полей  $R$  двойными индексами здесь и далее по рис. 2, 4а и 5.

Для  $\phi_{pb} = \phi_c + \phi_e = 2.5T_{ep}$ ,  $\gamma \frac{n_c}{n_p} = 3$  из (5) определим, что для достижения высоты ионных барьеров  $\phi_c = (4-4.5)T_{ec}$  достаточна глубина термобарьера  $\phi_b = 4.2T_{ec}$ . При этом отношение температур  $\frac{T_{ep}}{T_{ec}} = 3.3-3.5$ . При увеличении отношения  $\frac{n_c}{n_p}$  необходимая глубина термобарьера  $\phi_b$  увеличивается, но до приемлимой величины.

При "сильном" ЭЦР-нагреве электронов в ионном барьере высоту этого барьера в одиночном барьерном пробкотроне можно определить по формуле из /24/:

$$\phi_c = T_{ec} \left[ \frac{3\sqrt{\pi}}{4} \left( 1 - \frac{1}{R_{pb}} \right) \frac{n_p}{n_c} e^{\frac{\phi_b}{T_{ec}} \frac{1}{1-R_{pb}}} \right]^{\frac{2}{3}} - \phi_b \quad (6)$$

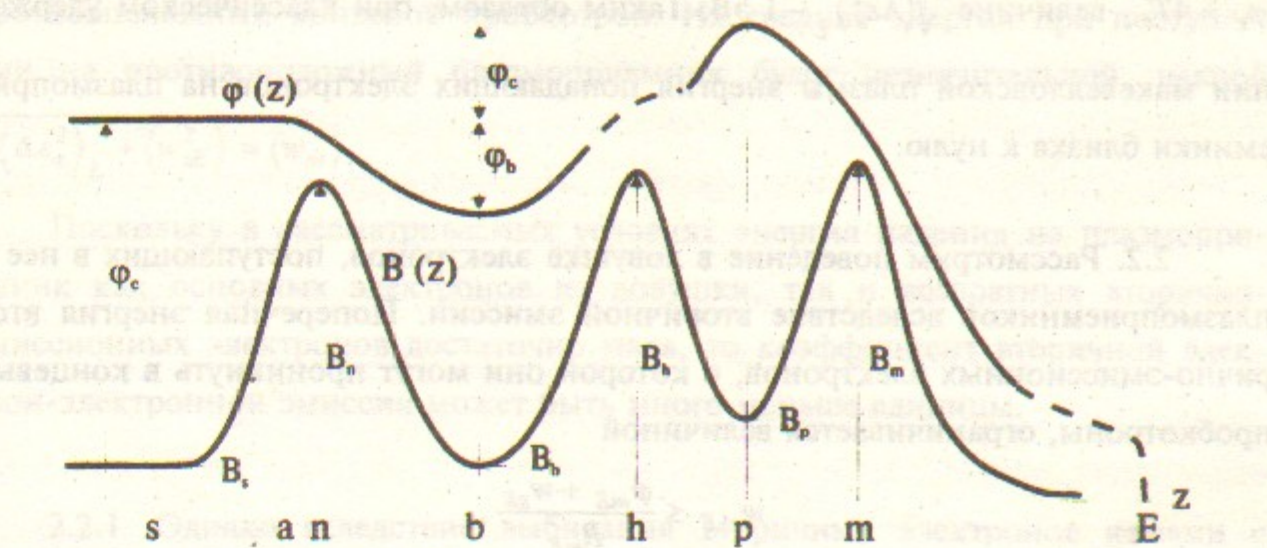


Рис.5. Распределение магнитного поля и потенциала в сдвоенном концевом пробкотроне.

Для небольших значений  $\frac{n_c}{n_p}$  и  $R_{pb}$  из формулы (6) получим  $\phi_b < \phi_c$ . Однако для  $\frac{n_c}{n_p} > 3$  и  $R_{pb} \geq 10$  и для "сильного" ЭЦР-нагрева электронов в ионном барьере  $\phi_b > \phi_c$ .

2.1.1. Для максвелловского распределения электронов в центральной ловушке в случае ее малой длины покидающие ловушку электроны попадают на плазмоприемники с нулевой энергией. При пролете длинной ловушки подбарьерные электроны рассеиваются по энергии с постоянной времени

$$\tau_{e2} = 1/4 \tau_{ec} \left( \frac{\phi_e}{T_{ec}} \right)^{\frac{5}{2}}$$

За время пролета ловушки  $t_{||} \approx \frac{L}{v_{||}(\phi_e)}$  подбарьерные электроны испытывают

энергетический разброс  $\sqrt{\langle \Delta \epsilon_e^2 \rangle_L} = \phi_e \sqrt{\frac{t_{||}}{\tau_{e2}^2}}$ .

Здесь  $L$  - длина ловушки,  $v_{||}(\phi_e)$  - скорость электронов с энергией  $\phi_e$ . Вследствие этого электроны попадают на плазмоприемники с конечной средней энергией  $\sqrt{\langle \Delta \epsilon_e^2 \rangle_L}$ . Для реактора длиной  $L \sim 100$  м,  $n_c = 2 \times 10^{14} \text{ см}^{-3}$ ,  $T_c = 20$  кэВ,

$\varphi_c = 4T_c$  величина  $\sqrt{\langle \Delta \varepsilon_e^2 \rangle_L} \sim 1$  эВ. Таким образом, при классическом удержании максвелловской плазмы энергия попадающих электронов на плазмоприемники близка к нулю.

2.2. Рассмотрим поведение в ловушке электронов, поступающих в нее с плазмоприемников вследствие вторичной эмиссии. Поперечная энергия вторично-эмиссионных электронов, с которой они могут проникнуть в концевые пробкотроны, ограничивается величиной

$$w_{sLE} \leq \frac{\varphi_{mE} + w_{sE}}{R_{mE}},$$

где  $w_{sE}$  - полная энергия вторичных электронов из плазмоприемников. Эти электроны в центре концевых пробкотроны (в термобарьерах) будут иметь поперечную энергию

$$w_{s\perp b} = w_{sLE} R_{bE} \leq \frac{\varphi_{mE} + w_{sE}}{R_{mb}}. \quad (7)$$

Граница конуса потерь электронов в концевых пробкотронах в сторону плазмоприемников определяется уравнением

$$w_{\perp b}^* \frac{w_b^* + \varphi_{mb}}{R_{mb}},$$

где  $w_{\perp b}^*$  и  $w_b^*$  - граничная кинетическая поперечная и полная энергия частиц в термобарьерах. Полная кинетическая энергия вторичных электронов в термобарье

$$w_{sb} = \varphi_{bE} + w_{sE}.$$

Подставляя это выражение в уравнение границы конуса потерь с учетом соотношения  $\varphi_{bE} + \varphi_{mb} = \varphi_{mE}$  получим на границе конуса

$$w_{s\perp b}^* = \frac{\varphi_{mE} + w_{sE}}{R_{mb}}. \quad (8)$$

Из (7) и (8) следует  $w_{s\perp b} \leq w_{s\perp b}^*$ . Это означает, что прошедшие в концевые пробкотроны вторичные электроны все попадают во внешние конуса потерь. Если магнитное поле во внутренних пробках концевых пробкотроны  $B_n$  сделать меньше поля во внешних пробках ( $R_{nb} < R_{mb}$ ), то внутренние конуса потерь будут охватывать внешние, несмотря на  $\varphi_{mb} > \varphi_b$ , как это показано на рис.4б. При этом условии вторичные электроны, попавшие в концевой пробкотрон, без задержки пройдут в центральную ловушку и затем выйдут через

противоположный концевой пробкотрон. Их средняя энергия при поступлении на противоположный плазмоприемник будет незначительной, равной  $\sqrt{\langle \Delta \varepsilon_e^2 \rangle_L + \langle w_{sE}^2 \rangle} \approx \langle w_{sE} \rangle$ .

Поскольку в рассматриваемых условиях энергия падения на плазмоприемник как основных электронов из ловушки, так и возвратных вторично-эмиссионных электронов достаточно мала, то коэффициент вторичной электрон-электронной эмиссии может быть много меньше единицы.

2.2.1. Однако вследствие выбивания вторичных электронов ионами с энергией  $\varphi_{pE} + T_{ic}$  коэффициент эмиссии вторичных электронов на одну электрон-ионную пару  $\sigma_e$  может быть больше единицы. Оценим влияние потока вторичных электронов, протекающих через ловушку, на энергетическое время жизни электронов в ловушке. Поскольку время жизни вторичных электронов в ловушке равно времени пролета через нее  $t_{\parallel} \ll \tau_{p\parallel}$ , то плотность этих электронов в ловушке

можно оценить величиной  $\Delta n_{es} = \sigma_e \frac{n_c}{\tau_{p\parallel}} t_{\parallel}$ . По условию квазинейтральности

должна уменьшаться плотность основных электронов на величину  $\Delta n_{ec} = -\Delta n_{es}$  за счет уменьшения времени их жизни  $\tau_{e\parallel}$  на величину  $\Delta \tau_{e\parallel} = \tau_{p\parallel} \frac{\Delta n_{ec}}{n_c} = -\sigma_e t_{\parallel}$ .

При этом автоматически должен уменьшаться электронный барьер  $\Phi_e$  в соответствии с формулой (2) на величину  $\Delta \varphi_e = T_{ec} \frac{\Delta \tau_{e\parallel}}{\tau_{p\parallel}}$ . Из выражения энергетиче-

ского времени жизни электронов  $\tau_{ee\parallel} = \frac{3}{2} \frac{T_{ec}}{\varphi_e} \tau_{e\parallel}$  можно найти его относительное уменьшение

$$\frac{\Delta \tau_{ee\parallel}}{\tau_{ee\parallel}} = \frac{\Delta \tau_{e\parallel}}{\tau_{e\parallel}} - \frac{\Delta \varphi_e}{\varphi_e} \approx \frac{\Delta \tau_{e\parallel}}{\tau_{p\parallel}} \left( 1 - \frac{T_{ec}}{\varphi_e} \right) \approx -\sigma_e \left( 1 - \frac{T_{ec}}{\varphi_e} \right) \frac{t_{\parallel}}{\tau_{p\parallel}}. \quad (9)$$

Для выше приводимых реакторных параметров отношение  $\frac{t_{\parallel}}{\tau_{p\parallel}} \sim 10^{-7}$ . При этом, как следует из (9) снижением энергетического времени жизни электронов вследствие вторичной эмиссии даже при  $\sigma_e \gg 1$  можно пренебречь.

2.2.2. Однако, как указывалось в разделе 1, при формировании ионных барьеров  $\Phi_c$  "сильным" ЭЦР-нагревом на 1-ой гармонике поперечная энергия

вторичных электронов может значительно возрастать за один пролет области резонансного нагрева в ионном барьере (см. рис. 3). При "сильном" ЭЦР-нагреве, когда резонансный нагрев электронов преобладает над их кулоновским рассеянием в ионном барье, электроны покидают ионный барьер с высокой средней поперечной энергией. Электроны с большой поперечной энергией удерживаются в концевых пробкотронах и могут иметь энергию значительно выше барьера  $\phi_e$ . В результате функция распределения электронов, удерживаемых в ловушке, становится в целом немаксвелловской со значительными высокотемпературными компонентами. Как следствие этого значительная часть электронов поступает на плазмоприемники из ловушки с высокой энергией. Вторичная электрон-электронная эмиссия резко возрастает, возникает "третичная" и т.д. электронная эмиссия. Увеличивается поступление вторичных электронов в ловушку. Энергозатраты на ЭЦР-нагрев электронов в ионном барьере возрастают.

Чтобы существенно ослабить указанные отрицательные эффекты ЭЦР-нагрева и вторичной электронной эмиссии, как нам представляется, необходимо:

- 1) удовлетвориться "слабым" ЭЦР-нагревом в ионном барьере;
- 2) магнитное поле во внутренних пробках концевых пробкотрона сделать заметно меньше поля во внешних пробках ( $B_n < B_m$ );
- 3) принять меры к уменьшению ВЭЭ и усилинию отражения вторичных электронов из плазмоприемников на входе в концевые магнитные пробки.

При переходе от "сильного" к "слабому" ЭЦР-нагреву время жизни электронов в ионном барьере может увеличиться на порядок (соответственно уменьшится их выходящий поток), энергия выходящих из этого барьера электронов существенно понизится. При  $B_n < B_m$  эти электроны могут выходить из концевых пробкотрона только в основную центральную часть ловушки (см. рис. 46), будут удерживаться магнитными пробками во всей ловушке и их уход в конус потерь благодаря большим пробочным отношениям  $R_{ns}$  и  $R_{ms}$  будет относительно небольшим. При слабом ЭЦР-нагреве амплитуда СВЧ-поля в ионных барьерах значительно меньше (см. /24/) и его воздействие на пролетающие вторичные электроны из плазмоприемников существенно слабее.

**2.2.3. Оценим уход в конус потерь центральной ловушки быстрых электронов, поступающих из концевых пробкотрона при  $B_n < B_m$ .** Будем предполагать, что плотность быстрых электронов в центральной ловушке мала по сравнению с плотностью основной популяции электронов с температурой  $T_{ec}$ . Поведение быстрых электронов в центральном соленоиде со скоростью  $v > 2.4v_{T_{ec}}$  в однородной плазме при  $r_e \gg D$  может быть описано стационарным уравнением Фоккера-Планка в виде /47/

$$-\frac{\Pi}{p^2} \frac{\partial}{\partial p} \left( F + \frac{m T_{ec}}{p} \frac{\partial F}{\partial p} \right) - \frac{\Pi}{p^3 \sin \theta} \left( 1 - \frac{m T_{ec}}{2p^2} \right) \frac{\partial}{\partial \theta} \left( \sin \theta \frac{\partial F}{\partial \theta} \right) = q, \quad (10)$$

где  $\Pi = 4\pi e^4 m n_c \lambda$ .

Здесь:  $D$  — дебаевский радиус,  $F(p, \theta)$  и  $p$  — функция распределения и импульс быстрых электронов,  $q$  — источник быстрых электронов,  $\lambda$  — кулоновский логарифм. Предполагается симметрия распределения  $F$  относительно импульса  $p$ , а функция распределения основной популяции электронов изотропной максвелловской с температурой  $T_{ec}$ , поскольку  $T_{ec} \ll \phi_e$ . Плотности токов в импульсном пространстве в сферической системе координат для быстрых электронов определяются формулами /47/:

$$\begin{aligned} j_p &= -\Pi \frac{1}{p^3} \left( pF + m T_{ec} \frac{\partial F}{\partial p} \right), \\ j_\theta &= -\Pi \frac{1}{p^2} \left( 1 - \frac{m T_{ec}}{2p^2} \right) \frac{\partial F}{\partial \theta}. \end{aligned} \quad (11)$$

Примем функцию распределения быстрых электронов, удерживаемых магнитными пробками, в виде

$$F = C e^{-\frac{p^2}{2mT_{ef}}} \ln \frac{\sin \theta}{\sin \theta_0}, \quad (12)$$

где  $\sin \theta_0 = \frac{1}{\sqrt{R_{ms}}}$ ,  $T_{ef}$  — температура быстрых электронов из концевых пробкотрона в центральной ловушке. Для такого вида  $F(p, \theta)$  при  $\frac{p^2}{m T_{ec}} > \frac{2\phi_e}{T_{ec}} \gg 1$

$$j_p = -C \Pi \left( 1 - \frac{T_{ec}}{T_{ef}} \right) \frac{1}{p^2} e^{-\frac{p^2}{2mT_{ef}}} \ln \frac{\sin \theta}{\sin \theta_0}, \quad (13)$$

$$j_\theta = -C \Pi \frac{1}{p^2} e^{-\frac{p^2}{2mT_{ef}}} \operatorname{ctg} \theta.$$

Поток быстрых электронов с энергией  $\frac{p^2}{2m} > \phi_e$  вниз по энергии в область, где электроны удерживаются потенциальными барьерами,

$$I_p = -8\pi\phi_e \int_{\theta_0}^{\theta} j_p \sin \theta \cdot d\theta. \text{ Поток таких быстрых электронов в конус потерь}$$

$$I_9 = -4\pi \sin \theta \int_{\sqrt{2m\phi_e}}^{\infty} j_9 p \cdot dp. \text{ Используя формулы (11) получим отношение потоков}$$

$$\frac{I_9}{I_p} = \frac{1}{2} \frac{1}{K(1 - \frac{T_{ec}}{T_{ef}})} e^{-\frac{\phi_e}{T_{ef}}} \left[ -E_i(-\frac{\phi_e}{T_e}) \right], \quad (14)$$

$$\text{где } K = \frac{\ln \left[ \left( 1 + \sqrt{1 - \frac{1}{R_{ms}}} \right)^2 R_{ms} \right]}{2 \frac{1}{1 - \frac{1}{R_{ms}}}} - 1.$$

Из уравнения (10) при  $\frac{m T_{ef}}{p^2} < \frac{T_{ef}}{2\phi_e} \ll 1$  получим выражение для источника быстрых электронов для  $F(p, \theta)$  по (12)

$$q(p, \theta) \approx 2 \frac{F(T_{ec})^{3/2}}{\tau_e} \frac{m T_{ep}}{p} \left[ \left( 1 - \frac{T_{ec}}{T_{ef}} \right) \ln \frac{\sin \theta}{\sin \theta_0} + \frac{m T_{ef}}{p^2} \right]. \quad (15)$$

Как видно из этого выражения источник  $q$ , соответствующий максвелловскому распределению быстрых электронов (12), должен быть относительно богаче

более медленными электронами. Для  $F = C_* p e^{-\frac{p^2}{2mT_{ef}}}$ , выражение для соответствующего источника  $q_*$  имеет вид, близкий к (15). Однако примерно  $q_* \sim pq$ , что означает ослабление обогащения источника более медленными электронами.

Тем не менее отношение  $\frac{I_9}{I_p}$  в этом случае возрастает незначительно по сравнению с (14).

Из (14) найдем долю теряемых в конус потерь быстрых электронов с энергией  $\frac{p^2}{2m} > \phi_e$  при  $B_n < B_m$ , равную  $\frac{I_9}{I_p + I_9}$ . Электроны с энергией  $\frac{p^2}{2m} > \phi_e$  составляют долю от всех высокотемпературных электронов в ловушке с распределением (12),

равную

$$\frac{\Delta n_f}{n_f} = 1 - \frac{2}{\sqrt{\pi}} \int_0^{\frac{\phi_e}{T_{ef}}} e^{-t} \sqrt{t} dt.$$

В результате, в конус потерь будет уходить небольшая доля высокотемпературных электронов, равная  $\frac{\Delta n_f}{n_f} \cdot \frac{I_9}{I_p + I_9}$ . Функция распределения быстрых электронов из концевых пробкотронов в ловушке может быть неоднотемпературной. Приведенная оценка ухода в конус потерь может быть сделана отдельно для каждой популяции быстрых электронов.

**2.2.4. Оцененная выше доля высокотемпературных электронов из концевых пробкотронов, выходящих из ловушки в магнитный конус потерь, будет приходить на плазмоприемники с повышенной энергией и вызывать вторичную эмиссию электронов. Все ионы падают на плазмоприемники с высокой энергией и будут выбивать из них электроны. Поэтому полезно уменьшать эмиссию и выход электронов с приемных поверхностей, а также следует трансформировать продольную энергию вторичных электронов в поперечную в области слабого магнитного поля у плазмоприемников, что приведет к их отражению сильным магнитным полем до входа в концевые пробкотроны и возврату на плазмоприемники с низкой энергией.**

Из металлов, которые пригодны для изготовления плазмоприемников или для покрытия их поверхности, наименьшими коэффициентами ВЭЭ  $\sigma$  обладают бериллий, титан и алюминий, для которых  $\max \sigma = 0.55, 0.83, 0.88$  соответственно при энергии падающих электронов  $E_p = 200-300$  эВ /48/. Коэффициент  $\sigma$  монотонно падает до нуля с уменьшением  $E_p \gtrsim 200$  эВ. Энергетический спектр вторичных электронов в основном состоит из пика истинно вторичных электронов шириной 10 - 15 эВ с максимумом при 2-3 эВ и широкого распределения неупруго отраженных электронов со средней энергией около  $0.5E_p$ . Коэффициент эмиссии вторичных электронов с энергией выше 50 эВ  $\eta$  составляет для Be до 10%, Ti до 28% и Al до 24%/48/. Эти электроны с большей вероятностью будут отражаться нарастающим магнитным полем (с учетом электрического поля). Поэтому важное значение имеет максимум разности  $\sigma - \eta$ : для Be - 0.45, для Ti - 0.58 и для Al - 0.64. Рекомендуется использовать шероховатую рыхлую поверхность, что может уменьшать эмиссию вторичных электронов примерно в два раза /48/. По-видимому, рационально напылять титан на пескоструенную прогретую нержавеющую сталь.

Ионно-электронная эмиссия (ИЭЭ) под действием бомбардировки ионов

изотопов водорода чистых поликристаллических металлических поверхностей минимальна для металлов с атомным номером  $11 \leq Z \leq 26$ , слабо зависит от вида металла в этом интервале по  $Z$  и имеет характерную зависимость от скорости ионов. При малых скоростях имеет место только потенциальная ИЭЭ с коэффициентами для  $Al$ ,  $Ti$  и  $Be$  6 - 8%. С повышением скорости выше пороговой начинается кинетическая ИЭЭ. Коэффициент ИЭЭ повышается до единицы при скорости ионов водорода  $\sim 2 \times 10^8$  см/сек и достигает максимума около 1.5 при скорости ионов около  $4 \times 10^8$  см/сек, затем плавно снижается /49-51/. Для неочищенных металлических поверхностей в вакууме  $\sim 10^{-6}$  Тор коэффициент ИЭЭ может превышать единицу во много раз и при скорости меньше  $2 \times 10^8$  см/сек. Энергетический спектр электронов ИЭЭ близок к максвелловскому с температурой в несколько электрон-вольт /49/. Ионно-электронная эмиссия как и ВЭЭ существенно ослабляется на рыхлой поверхности. Для уменьшения ИЭЭ полезно покрывать плазмоприемники многими слоями металлической сетки из очень тонкой проволоки.

Эмиссию электронов с плазмоприемников можно уменьшить во много раз с помощью антиэмиссионных металлических сеток с высокой прозрачностью под отрицательным потенциалом в десятки вольт. Эксперименты по давлению вторичных электронов такими сетками проводятся на установке GAMMA-10 /29-31/.

Для трансформации продольной энергии вторичных электронов в поперечную наиболее подходит способ, предложенный в /52/. Этот способ состоит в расположении сегментов плазмоприемника под наклонным углом к магнитному полю. При этом ускоряющиеся в дебаевском слое у поверхности вторичные электроны получают поперечную энергию, значительно превосходящую эмиссионную. Накачка поперечной энергии электронов в слабом магнитном поле резонансным СВЧ-полем представляется неподходящей из-за повышения энергии всех электронов, приходящих на плазмоприемники.

Таким образом, имеются возможности для исключения процесса размножения вторичных электронов и существенного уменьшения поступления их в ловушку.

2.3. Для создания термобарьера необходимо поддерживать в нем популяцию удерживаемых магнитным полем электронов с поперечной температурой

$T_{eh} \gg \phi_b$ . Это достигается ЭЦР-нагревом этих электронов на 2-ой гармонике. При  $\phi_b > 4T_{ec}$  требуется нагревать большую часть электронов в термобарьере плотностью  $n_{eh} \approx n_b - n_c e^{-\frac{\phi_b}{T_{ic}}}$ . Мощность ЭЦР-нагрева пропорциональна  $n_{eh}^2$ . Для снижения этой мощности до приемлемой величины необходимо  $n_b \ll n_c$ . Это условие легче выполнить в сдвоенном пробкотроне по рис.5, в котором исключается пребывание в термобарьере ионов из ионного барьера. В этом случае,  $n_b = n_{pass} + n_{trap}$ , где  $n_{pass}$  - плотность пролетных ионов из центральной ловушки в термобарьере,  $n_{trap}$  - плотность захваченных в термобарьере ионов, в основном, из-за рассеяния пролетных ионов. Плотность пролетных ионов можно выразить в виде:

$$n_{pass} = \frac{n_b}{1+g}, \text{ где } g = \frac{n_{trap}}{n_{pass}}.$$

Как показано в /53/, скорость захвата пролетных ионов в барьере

$$v_{trap} = \frac{1}{n_{trap}} \left( \frac{dn}{dt} \right) \propto R_{nb}^{2/5} \frac{\phi_b}{T_{ic}} \frac{1}{g^2}.$$

Это означает, что требуемая скорость откачки захваченных ионов из барьера быстро растет с уменьшением  $g$ . С другой стороны, при достаточно малом  $g$  ионы захватываются в основном в приграничный слой вблизи конуса потерь в пространстве скоростей /53/, что облегчает их откачуку.

Плотность пролетных ионов в термобарьере уменьшается с ростом пропорционального отношения  $R_{nb}$  и глубины барьера  $\phi_b$ . При  $R_{nb} \gg 1$  и  $\phi_b \gg T_{ic}$  по /45/:

$$\frac{n_{pass}}{n_c} \approx \frac{1}{R_{nb}} \sqrt{\frac{T_{ic}}{\pi \phi_b}} \quad (16)$$

2.4. Плотность пролетных ионов в термобарьере пробкотрона описывается уравнением, полученным из законов сохранения энергии иона

$$E_i = \frac{M_i}{2} (v_\perp^2 + v_\parallel^2) + \varphi \text{ и магнитного момента } \mu_i = \frac{M_i v_\perp^2}{2B},$$

$$\frac{n_{pass}}{n_c} = \frac{1}{\sqrt{\pi}} \int_0^\infty d\omega_\perp^2 \int_{-\infty}^\infty \frac{e^{-\epsilon} d\epsilon}{\epsilon^* \sqrt{\epsilon + \phi - \omega_\perp^2}}, \quad (17)$$

где  $\epsilon = \frac{E_i}{T_i}$ ,  $\omega_\perp^2 = \frac{\mu_i B}{T_i}$ ,  $\phi = -\frac{\varphi}{T_i}$ ,  $\epsilon^*$  - значение энергии иона на границе в пространстве скоростей, занятой пролетными ионами.

Полагая  $n_{pass} = n_e = n_c e^{\frac{\phi}{T_e}}$  и анализируя уравнения (17) с граничным условием  $n_{pass}(B_n) = n_c$  Пеккер обнаружил скачки потенциала на дебаевской длине в точках  $R(z) = R_{nb}/54$ . В этих точках, в частности при  $T_e = T_{ic}$ , потенциал описывается уравнением по (17)

$$e^{-2\phi} = 1 - \operatorname{erf}(\sqrt{\phi}) \quad (18)$$

Уравнение (18) имеет два решения:  $\phi = 0$  и  $\phi = \phi_n = 0.768$ . Скачку потенциала Пеккера  $\phi_n$  соответствует достаточно большой скачок плотности  $\Delta n_{\parallel}$ . При  $T_e = T_{ic}$

$$\frac{\Delta n_{\parallel}}{n_c} = 1 - e^{-\phi_n} = 0.536$$

Несомненно скачки Пеккера могут вызывать отрицательные эффекты. Однако можно показать, что при  $R_{ns} > 1$  скачки Пеккера могут не возникать.

2.4.1. Уравнение (17) справедливо не только для пробкотрона, но и для участка перед входом в пробкотрон со стороны соленоида. Оно может быть преобразовано к виду

$$\frac{n_{pass}}{n_c} = e^{\phi} \left[ 1 - \operatorname{erf}(\sqrt{\phi}) + \frac{2}{\sqrt{\pi}} \sqrt{\phi} e^{-\phi} - \frac{2}{\sqrt{\pi}} \int_0^\infty \omega_{\parallel}^* e^{-\omega^2} d\omega^2 \right], \quad (19)$$

где  $\omega^* = \omega_{\perp}^2 + \omega_{\parallel}^* = \frac{M_i v_{\parallel}^2}{2T_i}$  и  $\omega_{\parallel}^*$  - значение продольной скорости на границе области, занятой ионами.

Представляется реальным, что равновесная функция распределения ионов центральной ловушки нарушается не во входной пробке  $R_n$ , а до входа в пробку в некоторой точке "a" (см. рис.4а и 5) при  $R_a < R_n$  и  $R'_a > 0$ . Здесь и далее штрих означает дифференцирование по  $z$ . Примем в граничной точке "a"  $\phi_a = 0$  и  $\phi'_a = 0$ , что представляется наиболее естественным. В интервале от  $R_a$  до  $R_n$  потенциал  $\phi$  монотонно возрастает от 0 до  $\phi_n$ ,  $\phi'$  нарастает от нуля до конечной величины  $\phi'_n > 0$ ,  $R'$  падает от  $R'_a$  до нуля, производная  $\frac{d\phi}{dR}$  нарастает от 0 до  $\infty$ . Продольное движение ионов определяется потенциалом

$$U = \omega_{\perp a}^2 \left( \frac{R}{R_a} - 1 \right) - \phi(R) \quad (20)$$

Имеет место  $\max U(R) = U_1(R_1)$  при  $\omega_{\perp a}^2 = R_a \frac{d\phi}{dR} \Big|_{R=R_1}$

При монотонном росте  $\frac{d\phi}{dR}(R)$  с увеличением  $\omega_{\perp a}^2$  значение  $R_1$  увеличивается от  $R_a$  до  $R$ , а потенциал  $U_1(R_1)$  монотонно растет от нуля до  $U_1(R) = (R - R_a) \frac{d\phi}{dR} - \phi(R)$ . При  $R > R_1$ , квадрат граничной (минимальной) скорости ионов

$$\omega_{\parallel}^{*2} (R_1 \omega_{\perp a}^2) = U_1(R_1) - U(R). \quad (21)$$

Соответствующая поперечная скорость  $\omega_{\perp}^2(R) = \frac{R}{R_a} \omega_{\perp 0}^2$ . Из (21) с подстановками по (20) можно получить:

$$\frac{\partial \omega_{\parallel}^{*2}}{\partial \omega_{\perp}^2} = -\left(1 - \frac{R_1}{R}\right) \quad \text{или} \quad \frac{\partial \omega_{\parallel}^{*2}}{\partial \omega^2} = -\frac{1}{2\omega_{\parallel}^*} \left( \frac{R}{R_1} - 1 \right). \quad (22)$$

Из (21) и (22) найдем для  $\omega_{\perp}(\omega_{\parallel}^*) = 0$

$$R_1 = R_a; \quad \phi_1 = 0; \quad \omega_{\parallel}^{*2} = \phi; \\ \frac{\partial \omega_{\parallel}^{*2}}{\partial \omega^2} = -\frac{1}{2\sqrt{\phi}} \left( \frac{R}{R_a} - 1 \right). \quad (23)$$

Аналогично для  $\omega_{\parallel}^* = 0$  найдем  $R_1 = R$ ;  $\phi_1 = \phi$ ;  $\omega_{\perp}^2 = R \frac{d\phi}{dR}$  и  $\frac{\partial \omega_{\perp}^2}{\partial \omega_{\perp}^2} = 0$ .

Условиям (22) и (23) при  $R \rightarrow R_n$  удовлетворяет, в частности, следующая аппроксимация границы области, занятой ионами,

$$\omega_{\parallel}^* = \frac{\phi \sqrt{\phi} \frac{2R_a}{R - R_a}}{\omega^2 + \phi \frac{3R_a - R}{R - R_a}}. \quad (24)$$

После подстановки (24) в (19) получим

$$\frac{n_{pass}}{n_c} = e^{\phi} [1 - \operatorname{erf}(\sqrt{\phi})] + \frac{2}{\sqrt{\pi}} \sqrt{\phi} + \frac{2}{\sqrt{\pi}} a \phi \sqrt{\phi} e^{a\phi} E_i(-a\phi), \quad (25)$$

где  $a = \frac{2R_a}{R - R_a}$ . При  $n_{pass} = n_e(\phi) = n_c e^{-\phi}$  для  $T_e = T_i$  из (25) получим

$$1 + \sqrt{\pi} \frac{sh\phi}{\sqrt{\phi}} - \frac{\sqrt{\pi}}{2} \frac{e^{\phi}}{\sqrt{\phi}} \operatorname{erf}(\sqrt{\phi}) = a \phi e^{a\phi} [-E_i(-a\phi)]. \quad (26)$$

Поскольку аппроксимация (24) некорректна для  $R < R_n$  в области  $\omega_{\parallel}^* \rightarrow 0$ , уравнением (26) можно воспользоваться только при  $R = R_n$ .

При  $\frac{R_a}{R_n} < 0.743$  это уравнение не имеет корней, кроме  $\phi=0$ . При  $\frac{R_a}{R_n} > 0.743$

уравнение (26) имеет кроме нулевого, два корня  $\phi_1$  и  $\phi_{II}$ . При  $\frac{R_a}{R_n} = 0.743$

$\phi_1 = \phi_{II} = 0.0715$ , а с ростом этого отношения до единицы  $\phi_1$  падает до нуля, а  $\phi_{II}$  возрастает до  $\phi_n = 0.768$ . При других аппроксимациях зависимости  $\omega_j(\omega)$  качественно получается тот же результат. Поскольку потенциал  $\varphi$  падает в пробкотроне независимо от граничных условий на входе в него ионного потока, перед входом в пробку должно установиться ненулевое распределение  $\varphi(R)$  с единственным решением  $\phi_n = \phi_1 = \phi_{II}$ . При этом граница области пролетных ионов в пробкотроне в пространстве скоростей несколько изменится, но на соотношение (16) это практически не влияет.

2.5. Одной из важнейших является задача откачки ионов, захватываемых в термобарье в основном в результате рассеяния пролетных ионов. Простейший метод откачки захваченных ионов состоит в их перезарядке в атомы на инжектируемых атомарных пучках с малым питч-углом, лежащим в конусе потерь пробкотрона. Ионы, образующиеся из инжектируемых атомов, уходят из пробкотрона (обычно в центральный соленоид), а атомы, образующиеся из захваченных ионов, могут уходить поперек магнитного поля. Возможность откачки захваченных ионов гелия из термобарьера таким методом рассмотрена в /55/. Однако из-за падения сечений перезарядки с повышением энергии ионов в реакторных условиях этот метод неэффективен.

В 1981 г. Балдин предложил дрейфовую откачуку с помощью перпендикулярных переменных магнитных полей, вызывающих радиальный дрейф ионов. Речь идет о возбуждении внешними токами низкочастотных волн в резонансе с частотой азимутального дрейфа захваченных ионов. Если эти волны имеют дискретный частотный спектр, а резонансы перекрываются, дрейф ионов становится стохастическим. В результате имеет место стохастическая диффузия захваченных ионов на поверхность плазмы, с которой они уходят вдоль магнитного поля /56/. Для лучшего проникновения возмущающих магнитных полей в плазму рационально ограничиться одной низкой азимутальной модой. Все примесные захваченные ионы будут удаляться при дрейфовой откачке одинаково с основными ионами, если в азимутальном дрейфе доминирует

$E \times B$ -дрейф. Рассматривались другие разновидности дрейфовой откачки: с резонансами на комбинации баунс частоты и частоты азимутального дрейфа, с возмущением дрейфовых поверхностей в барьерном пробкотроне поперечными электрическими полями, возбуждаемыми с торца вдоль магнитного поля.

Метод поперечной дрейфовой откачки, описанный, в частности, в /56/, является достаточно эффективным для пробкотронов с квадрупольным магнитным полем. Однако в осесимметричных пробкотронах дрейфовая откачка затрудняется из-за уменьшения радиальных смещений ионов /56/. В /57/ изучена селективная дрейфовая откачка ионов в осесимметричном барьерном пробкотроне с адекватной системой внешних токов, возбуждающих возмущающее магнитное поле. Показано, что достаточно слабые асимметричные поля специальной геометрии с продольным компонентом, вращающиеся с двумя частотами, близкими к частоте азимутального дрейфа, вызывают стохастическую радиальную диффузию захваченных ионов с достаточно высоким коэффициентом диффузии.

Поперечная откачка ионов из термобарьера приводит к снижению продольного времени жизни ионов в центральной ловушке больше, чем в

$$\frac{\tau_{il}}{\tau_{ic}} \cdot \frac{\langle n_b \rangle L_b \langle B_c \rangle}{n_c \cdot L_c \langle B_b \rangle} \text{ раз},$$

где  $\tau_{il}$  определяется формулой (1),  $L_b$  и  $L_c$  - длины термобарьера и центральной ловушки соответственно. В соответствии с формулой (1)

$$\frac{\tau_{il}}{\tau_{ic}} = \frac{\sqrt{\pi}}{2} G \left( \frac{R_{ps}}{2} \right) \phi_c e^{\frac{1}{\phi_c}} \left( 1 + \frac{1}{2\phi_c} \right)^{-1}.$$

При  $\phi_c = 4-4.5 \quad \frac{\tau_{il}}{\tau_{ic}} = (0.64 - 1.2) \times 10^{-3}$ .

В реакторе  $\frac{\langle n_b \rangle L_b \langle B_c \rangle}{n_c L_c \langle B_b \rangle} \sim 3 \cdot 10^3$  и даже при  $\phi_c = 4$  продольное время жизни ионов уменьшается более, чем в 2 раза. По-видимому, полезно использовать поперечную откачку только для селективной откачки из термобарьера ионов примесей и продуктов термоядерной реакции.

2.5.1. Основные ионы - ионы термоядерного топлива, захваченные в термобарьер, необходимо откачивать обратно в центральную ловушку вдоль магнитного поля.

Одной из возможностей продольной откачки является раскачка баунс-колебаний захваченных в термобарьеере ионов на параметрических резонансах. Выразим магнитное поле в барьере  $B_b$  через поле во входной пробке  $B_n$  через отношение  $b = \frac{B_b}{B_n}$ . Поскольку  $b = \frac{1}{R_{nb}}$ , то величину  $b$  из формулы (16) можно выразить в виде

$$b = \sqrt{\pi\phi_b} \frac{n_{pass}}{n_c}. \quad (27)$$

При  $T_e = T_{ic}$  плотность термических электронов в барьере  $n_{eth} = n_c e^{-\phi_b}$  ( $n_{eth} \approx n_b - n_{eh}$ ). Для реакторных параметров при  $g = \frac{n_{trap}}{n_{pass}} \sim 2 - 3$   $n_{eth} < n_{pass}$ ,

что означает  $b > \sqrt{\pi\phi_b} \cdot e^{-\phi_b}$ . При модуляции магнитного поля  $B_b$  в соответствии с (27) могут модулироваться  $n_{pass}$  и  $\phi_b$ . Однако при малой модуляции с достаточно высокой частотой плотность  $n_{eh}$  будет оставаться неизменной. Поэтому по условию квазинейтральности

$$\frac{dn_{pass}}{dt} = \frac{dn_{eth}}{dt} \quad \text{или} \quad \frac{d}{dt} \frac{b}{\sqrt{\pi\phi_b}} = \frac{d}{dt} e^{-\phi_b}. \quad (28)$$

Из (28) следует

$$\frac{b}{\phi_b} \frac{d\phi_b}{db} = -\frac{1}{R_{nb}\phi_b \sqrt{\pi\phi_b} e^{-\phi_b} - \frac{1}{2}}. \quad (29)$$

При  $\frac{d\phi_b}{db} < 0$  и  $n_{eth} < n_{pass}$   $\frac{e^{\phi_b}}{2\phi_b \sqrt{\pi\phi_b}} < R_{nb} < \frac{e^{\phi_b}}{\sqrt{\pi\phi_b}}$ .

Для  $\phi_b = 5$   $3.74 < R_{nb} < 37.4$ , что не противоречит значению  $R_{nb} = 10$  для реактора.

С помощью коаксиальных витков с переменным током, установленных в окрестности термобарьера можно модулировать  $b$ , поскольку при этом

$\frac{\dot{B}_n}{B_n} \ll \frac{\dot{B}_b}{B_b}$ . Пусть  $b = \langle b \rangle [1 - \delta \sin(\omega t)]$ , где  $\delta \ll 1$ . В соответствии с (29) будет

изменяться потенциал

$$\phi_b = \langle \phi_b \rangle [1 + \varepsilon \sin(\omega t)] \quad (30)$$

При этом отношение  $\frac{\varepsilon}{\delta}$  будет близким к единице. Для  $\phi_b = 5$  и  $R_{nb} = 10$  из

(29) найдем  $\frac{\varepsilon}{\delta} = 1.2$ . Для параболической ямы квадрат собственной частоты колебаний захваченных в термобарьеере ионов  $\omega_0^2 = \frac{2U_{nb}}{M_i z_m^2}$ , где  $U_{nb}$  - глубина

потенциала продольного движения ионов,  $z_m$  - аксиальный полуразмер ямы.

$$U_{nb} = \mu B_n \left(1 - \frac{1}{R_{nb}}\right) + \phi_b.$$

$$\text{Поскольку } \langle \mu B_n \rangle \approx T_{ic} \ll \phi_b \quad U_{nb} \approx \phi_b \quad \text{и} \quad \omega_0^2 \approx \frac{c^2}{z_m^2} \frac{2\phi_b}{M_i c^2}. \quad (31)$$

Подставляя (30) в (31) получаем  $\omega_0^2 \approx \langle \omega_0^2 \rangle [1 + \varepsilon \sin(\omega t)]$ .

Уравнение продольного движения захваченных ионов в параболической яме

$$\ddot{z} + \omega_0^2 [1 + \varepsilon \sin(\omega t)] z = 0 \text{ сводится к уравнению Хилла}$$

$$\frac{d^2 z}{dx^2} + (\theta_0 + 2\theta_1 \cos 2x) z = 0 \quad (32)$$

$$\text{где } x = \frac{\omega t}{2} - \frac{\pi}{4}; \quad \theta_0 = \left(\frac{2\omega_0}{\omega}\right)^2, \quad \theta_1 = \frac{\varepsilon}{2} \theta_0.$$

Решение уравнения (32) по Флоке имеет вид

$$z(x) = C_1 e^{\lambda x} \psi(x) + C_2 e^{-\lambda x} \psi(-x), \quad (33)$$

где  $\psi(x)$  - периодическая функция:  $\psi(x + 2\pi) = \psi(x)$ . Решение (33) неустойчиво при  $\sqrt{\theta_0} = q = 1, 2, 3, \dots$ . При  $\theta_1 \ll 1$  для параметрического резонанса  $q=1$   $|ch\pi\lambda| \approx 1 + \frac{\pi^2}{8} \theta_1^2$ , соответственно  $\lambda \approx \frac{\theta_1}{2}$ . Соответствующий инкремент неустойчивости

$$\gamma = \lambda \omega_0 = \frac{\varepsilon \omega_0}{4}. \quad (34)$$

Параметрические резонансы имеют место при  $\omega_0 \geq \frac{1}{2} \omega$ . Мощность и ширина резонансов падают с ростом  $q = \frac{2\omega_0}{\omega}$ .

Если инкремент раскачки захваченных ионов на первом параметрическом резонансе  $\gamma$  принять примерно равным скорости захвата ионов  $v_{tr}$ , то из (34) найдем, что необходимая амплитуда колебаний потенциала  $\phi_b$  с частотой  $\omega = 2\omega_0$  должна иметь величину

$$\varepsilon \approx \frac{4v_{tr}}{\omega_0}.$$

Скорость захвата ионов в прямоугольную яму можно оценить по формуле из /58/

$$v_{tr} \approx \frac{1}{g(g+1)} \frac{n_b}{n_c} \frac{1}{\tau_{ic}} \left[ 0.935(1 + 0.044R_{nb}) \frac{g+1}{g^{0.7}} \right]^{1/3}. \quad (35)$$

Для более реальной модели ямы скорость захвата в несколько раз больше /58/.

Для дейтонов при  $\phi_b \sim 5T_{ic}$ ,  $T_{ic} = 20$  кэВ и  $z_m \sim 2$  м частота колебаний

$$\frac{\omega_0}{2\pi} \sim 250 \text{ кГц.}$$

Для  $n_b \sim 0.1 n_c \sim 2 \times 10^{13} \text{ см}^{-3}$ ,  $R_{nb} \sim 10$  и  $g \sim 2$  ожидаемая скорость захвата действительных ям  $v_{br} \sim 100$ . Соответственно необходимая относительная амплитуда потенциала  $\varepsilon \lesssim 2.3 \times 10^{-4}$ .

При  $B_n \sim 250 \text{ кГс}$  соответствующая амплитуда возмущения продольного магнитного поля в барьере  $\Delta B_b \lesssim 60 \text{ Гс}$  имеет достаточно небольшую величину.

Яма для захваченных ионов в термобарьере заметно отличается от параболической. При этом резонансная параметрическая раскачка захваченных ионов будет иметь место. Однако процесс может оказаться значительно сложнее и необходим более глубокий анализ его. Тем не менее, приведем на основании выше изложенного несколько качественных соображений, возможно поверхностных. Дно ямы может быть достаточно близким к параболическому с частотой собственных колебаний  $\omega_{bou}$ . Если возмущение поля  $B_b$  осуществлять на частоте  $\omega = 2\omega_{bou}$ , то глубоко захваченные ионы будут выбрасываться со дна ямы на резонансе  $q = 1$ , а других параметрических резонансов может не быть, поскольку собственная частота колебаний ионов с большими амплитудами  $\omega_0 < \omega_{bou}$ . Однако наиболее важно откачивать мелко захваченные ионы, близкие к сепаратрисе, их частота  $\omega_{sep} < \omega_{bou}$ . Если ввести возмущение  $B_b$  на частоте  $\omega = 2\omega_{sep}$ , то могут иметь место параметрические резонансы с  $q > 1$  для более глубоких частиц. Если таких резонансов будет немного и они не будут перекрываться, тогда не исключается хорошая параметрическая откачка "мелко" захваченных частиц.

**2.5.2.** Другая возможность обратной продольной откачки неглубоко захваченных в термобарьере ионов состоит в циклотронном резонансном нагреве этих ионов во время их пребывания во входной области между точками "a" и "n" по рис. 4а и 5. Несмотря на малое отличие пробочных отношений  $R_a$  и  $R_n$  расстояние между этими точками может быть значительным. Поскольку здесь область пролетных ионов в пространстве скоростей лежит выше по поперечной скорости области захваченных ионов, а при многократных прохождениях резонансной циклотронной зоны захваченными ионами их средняя энергия возрастает /59/, может иметь место уход захваченных ионов через се-

паратрису в область пролетных ионов с последующим возвратом их в соленоид.

**2.6.** Время удержания горячих электронов в термобарьере и в ионном барьере обратно пропорционально плотности горячих электронов. Поэтому мощность ЭЦР-нагрева, необходимая для поддержания популяций горячих электронов в барьерах, пропорциональна квадрату плотности этих электронов. Для снижения мощности ЭЦР-нагрева до приемлемой величины в реакторе необходимо снизить плотность в термобарьере до  $n_b \sim 10^{13} \text{ см}^{-3}$ , а в ионном барьере до  $n_p \sim 2 \times 10^{13} \text{ см}^{-3}$ . Для снижения плотности  $n_b = (g + 1)n_{pass}$  необходимо, как следует из формулы (16), большое пробочное отношение  $R_{nb} \lesssim 10$ , а магнитное поле  $B_n \sim 250 \text{ кГс}$ .

В экспериментах на установке GAMMA-10 удавалось реализовать режим амбиполярного удержания при  $n_p < \frac{1}{2} n_c / 10$ .

Возможно ли уменьшить плотность в ионном барьере до  $n_p \sim 0.1 n_c$  и при каких условиях это возможно - важнейший вопрос, подлежащий изучению. По-видимому,  $n_p \sim 0.1 n_c$  легче реализовать в сдвоенном барьерном пробкотроне.

**2.7.** В заключение этого раздела перечислим главные компоненты проблемы продольного энергетического удержания плазмы.

1. Дополнительные энергозатраты, связанные с эмиссией электронов с плазмоприемников вследствие их бомбардировки быстрыми электронами и ионами. Имеется возможность ограничить поток вторичных электронов в ловушку на достаточно низком уровне. Полезно использовать только "слабый" ЭЦР-нагрев электронов в ионных барьерах и выполнять наружные магнитные пробки сильнее внутренних, что существенно уменьшает приток быстрых электронов на плазмоприемники, усиливающих ВЭЭ. Вторичные электроны, пролетающие ловушку без подогрева СВЧ-полями практически не снижают энергетическое время жизни электронов.
2. Откачка захваченных в термобарьере ионов. Следует использовать продольную откачку основных термоядерных ионов обратно в центральную ловушку, чтобы избежать уменьшения времени их удержания. Возможна продольная параметрическая откачка ионов достаточно слабым переменным продольным

магнитным полем.

3. Существенное понижение плотности плазмы в термобарьерах и ионных барьерах для уменьшения мощности ЭЦР-нагрева в амбиполярном реакторе до приемлемой величины. Это возможно, если будут созданы пробочные катушки для концевых пробкотронов с полем до 25-30 тесла на основе новых сверхпроводников.

### 3. ПРОБЛЕМА МГД-СТАБИЛИЗАЦИИ ПЛАЗМЫ ВЫСОКОГО ДАВЛЕНИЯ В ОСЕСИММЕТРИЧНОЙ ГЕОМЕТРИИ

В первоначальной схеме амбиполярной ловушки /41/ предлагалось осуществлять МГД-стабилизацию плазмы с помощью концевых пробкотронов с квадрупольным компонентом магнитного поля, обеспечивающим средний "минимум  $B$ ". Позже предлагались концевые барьерные пробкотроны выполнять осесимметричными, а для МГД-стабилизации снаружи к ним пристыковывать пробкотроны - стабилизаторы (якоря) с "минимумом  $B$ ". В ловушке с квадрупольными (мультипольными) ячейками имеют место неоклассические поперечные потери плазмы, которые возрастают с повышением температуры плазмы и, соответственно, поперечных электрических полей в ней. В идеально осесимметричной ловушке неоклассические потери отсутствуют. В реальном магнитном поле небольшая асимметрия и неоклассический перенос возможны, но их можно снизить до незначительной величины. Кроме того, при сооружении осесимметричных ловушек существенно упрощаются инженерные проблемы и появляется возможность значительно повысить магнитное поле в пробках.

На возможность МГД-устойчивости плазмы в осесимметричном магнитном поле указывалось давно: Розенблют и Лонгмайер (1987 г.), Христофилос (1958), Андреолетти и Фюрт (1963), Перкинс и Пост (1963). В дальнейшем, особенно в 70-е и 80-е г. г., был предложен ряд новых способов МГД-стабилизации и выполнено значительное количество теоретических работ и ряд экспериментов, которые описаны в обзорах /60-62/. Однако большинство предложенных способов МГД-стабилизации имеют существенные ограничения, в частности, по величине  $\beta$ , или пригодны только для полой структуры плазмы с относительно небольшим поперечным размером плазмен-

ной оболочки полости.

3.1. В качестве основного метода МГД-стабилизации высокотемпературной плазмы в осесимметричной амбиполярной ловушке предлагается стабилизация проводящим кожухом в комбинации с эффектом КЛР при  $\beta \sim 1$ . При этом допускается значительный зазор между кожухом (стенкой) и плазмой.

Развитие этого метода тесно связано с исследованиями стабилизации плазмы высоко энергичными частицами, в первую очередь электронными кольцами /62/. На важную роль проводящей стенки при стабилизации плазмы электронным кольцом в пробкотроне Астрон указал Христофилос /63/. Проводящие стенки могут стабилизировать прецессионную моду. В /64/ было показано, что изотропная плазма прямолинейного тэта-пинча в проводящем кожухе устойчива относительно глобального поперечного смещения (мода  $m = 1$ ), если

$$\beta > 1 - \left( \frac{r_p}{r_w} \right)^2, \quad (36)$$

где  $r_p$  и  $r_w$  - радиусы плазмы и стенки, соответственно.

Ранее в /65/ было установлено для плазмы в пробкотронах при  $\beta \ll 1$ , что высшие азимутальные моды  $m \gg 2$  могут подавляться эффектом КЛР при условии

$$\frac{\rho_i^2}{r_p^2} > 2 \frac{r_p}{R_k}, \quad (37)$$

где  $\rho_i$  - ионный гирорадиус,  $R_k$  - радиус кривизны магнитного поля на радиусе  $r_p$  (без учета знака). Так обозначился один из путей стабилизации желобковой неустойчивости в осесимметричном поле.

В /66/ была показана возможность избежать МГД-неустойчивость плазмы в концевых пробкотронах амбиполярной ловушки с использованием высокоенергичной популяции частиц в плазме. Была проанализирована дискообразная плазма с поверхностным диамагнитным током глубиной  $\Delta \ll r_p$  в проводящем кожухе в параксиальном приближении. Для высокоенергичной популяции принято  $\beta_h \sim \left( \frac{2z_p}{L} \right)^2$ , где  $L$  - длина пробкотрона,  $2z_p$  - длина высокоенергичной плазмы. Предполагалось наличие менее горячей популяции с  $\beta_w \ll \beta_h$ . В /66/ найдено условие устойчивости глобальной моды  $m = 1$  в виде

(формулы 24 и 20):

$$\frac{1}{8} \frac{1}{\beta_h(1-\beta_\perp)} \left( \frac{\partial \beta_\perp}{\partial z} \right)^2 r_p R_k \left( 1 + \frac{\psi_p}{\psi_w} \right) > 1, \quad (38)$$

где  $\psi_p$  и  $\psi_w$  - магнитные потоки (деленные на  $2\pi$ ), соответствующие радиусам  $r_p$  и  $r_w$ . Здесь и далее величины с нижними индексами  $h$  относятся к высокоэнергичной популяции частиц. При этом условии МГД-подобные и прецессионные моды становятся стабильными волнами с положительной энергией. Условие справедливо в низкочастотном пределе  $\omega < \omega_k$ , где  $\omega_k$  - дрейфовая частота высокоэнергичных ионов из-за кривизны магнитного поля.

В /67/ рассмотрено взаимодействие прецессионных мод в концевых пробкотронах с поверхностными альфеновскими волнами, возбуждающимися в центральной ловушке (соленоиде). Показано, что для моды  $m = 1$  проводящие стенки, окружающие высокоэнергичную популяцию плазмы в концевых пробкотронах могут стабилизировать как прецессионные волны /66/, так и не допускать дестабилизацию альфеновских волн в центральном соленоиде. Для  $m \geq 2$  без КЛР-эффекта прецессионные моды дестабилизируются альфеновскими волнами из центрального соленоида. С использованием работ /68, 69/ проведен предварительный анализ КЛР-стабилизации для поверхностных (в слое  $\Delta$ ) мод  $1 < m < \frac{r_p}{\Delta}$ . В результате получено условие полной стабилизации плазмы с невысоким  $\beta$ :

$$\frac{m^2 - 1}{2} \frac{\rho_h^2 R_k}{r_p^2 \Delta} \beta_h + \frac{1}{8} \frac{1}{\beta} \frac{\beta_\perp^2}{z_p^2} r_p R_k \left( \frac{1}{m} + \frac{\psi_p}{\psi_w} \right) > 1. \quad (39)$$

Без учета поверхностных волн с использованием работы /69/ получено условие КЛР-стабилизации в виде

$$k_\perp^2 \rho_h^2 > \frac{2}{\beta_h} \frac{\Delta}{R_k}. \quad (40)$$

Формулы (39, 40) относятся к концевым пробкотронам.

**3.2. Теория стабилизации проводящими стенками и КЛР-эффектами** плазмы с высоким  $\beta \sim 1$  для высокоэнергичной популяции развита Берком и др. /70/, как продолжение предыдущих работ /66, 67/. По-прежнему рассматривается плазма с трапециoidalным распределением давления по потоковой координате  $\psi$  с радиальной протяженностью спада  $\Delta \ll r_p$ . Предполагается наличие теплой популяции плазмы с плотностью

$$n_w > n_h \frac{1 - \beta_h}{\beta_h} \text{ при } \beta_w \ll \beta_h. \quad (41)$$

где  $n_h$  - плотность высокоэнергичной популяции. Условие (41) является следствием пренебрежения слагаемого КЛР-эффекта, связанного с электрическим дрейфом /65/. В параксиальном приближении в низкочастотном пределе  $\omega \lesssim \omega_k$  получено следующее условие полной МГД-устойчивости в виде:

$$g = 1 - G_{FLR} - G_{wall} < 0. \quad (42)$$

При  $g > 0$ , как правило, неустойчивы перестановочные моды и компрессионные моды (с возмущениями только продольного магнитного поля). Для  $\psi_p = \psi_w$  величины  $G$  определяются формулами (34) и (35) из /70/. Без точного вычисления интегралов по длине эти формулы имеют вид:

$$G_{FLR}^{[m]} \approx \frac{m^2 - 1}{2} \frac{p_\perp}{p_\perp + p_\parallel} \frac{\beta_\perp}{1 - \beta_\perp} \frac{R_{kv} \rho_{kv}^2}{r_p^2 \Delta}, \quad (43)$$

где  $R_{kv}$  - радиус кривизны вакуумного поля без плазмы на радиусе  $r_v = r_p$ ;  $\rho_{kv}$  - поперечный гирорадиус высокоэнергичной популяции в вакуумном магнитном поле;  $\beta_\perp$  - значение поперечного  $\beta$  во внутренней области плазмы;  $p_\perp$  и  $p_\parallel$  - поперечное и продольное давления плазмы.

$$G_{wall}^{[m]} \approx \frac{3}{16} \cdot \frac{3}{3} \left[ m(1 - \beta) + m^2 \left( \beta - \frac{2}{3} \right) \right] \left( \frac{\partial \beta_\perp}{\partial z} \right)^2 r_v R_v, \quad (44)$$

где  $\beta = \beta_\perp \frac{p_\perp + p_\parallel}{2p_\perp}$ ,  $R_v$  - радиус кривизны вакуумного поля на любом радиусе  $r_v$  ( $r_v R_v \approx \text{Const}$ ). Формула (44) справедлива для  $m < \frac{r_p}{\Delta}$ . Для глобальной моды  $m = 1$

$$G_{wall}^{[1]} \approx \frac{1}{16} \cdot \frac{p_\perp + p_\parallel}{\beta_\perp (1 - \beta_\perp)^2} \left( \frac{\partial \beta_\perp}{\partial z} \right)^2 r_v R_v. \quad (45)$$

Используя соотношение  $\frac{p_\parallel}{p_\perp} \approx \frac{z_p^2}{z_k^2}$ , где  $z_k^2 = \frac{1}{2} r_v R_v$ , выражение (45) можно записать в виде:

$$G_{wall}^{[1]} \approx \frac{1}{8} \cdot \frac{p_\perp}{p_\parallel} \left( \frac{4p_\perp}{p_\perp + p_\parallel} - \beta_\perp \right) \frac{\beta_\perp}{(1 - \beta_\perp)^2}. \quad (46)$$

Откуда видно, что с ростом анизотропии плазмы  $\frac{p_\perp}{p_\parallel}$  величина  $G_{wall}^{[1]}$  резко возрастает, а минимальное для устойчивости (критическое)  $\beta$  существенно

уменьшается.

Следует подчеркнуть, что при очень малом зазоре между плазмой и проводящей стенкой ( $\psi_p \approx \psi_w$ ) величина  $G_{wall}^{[m]}$  растет с увеличением полоидальной моды  $m$  и ограничивается при  $m \sim \frac{r_p}{\Delta}$ .

Для относительно небольших значений  $\beta$  влияние этого зазора на критерий стабильности в виде (42) аналитически оценивалось в работах /66,67/. Как следует из формулы (49) из /66/ величина

$$G_{wall}^{[m]} \propto \frac{1}{m} + \frac{\psi_p}{\psi_w}$$

Для  $\beta \sim 1$  условие полной МГД-стабилизации для  $\omega < \omega_k$  при  $\psi_w > \psi_p$  можно найти, численно решая уравнение (29) из /70/. По-видимому, имеет место степенная зависимость от отношения  $\frac{\psi_w}{\psi_p} = \frac{r_w^2}{r_p^2}$ , которая может быть скомпенсирована повышением  $\beta_1$ .

**3.2.1.** При  $\beta_1 \sim 1$  частота градиентного дрейфа в нарастающем по радиусу периферийном магнитном поле  $\omega_{VB} \gg |\omega_k|$ . Отношение  $m$  - гармоники этой частоты в середине периферийного слоя  $\bar{\omega}_{VB}$  к частоте баунс-колебаний  $\omega_b$  можно представить в виде

$$\frac{\bar{\omega}_{VB}^{[m]}}{\omega_b} \approx \frac{m \rho_{1v}}{2 \Delta} \sqrt{\frac{R_{kv}}{r_p}} \cdot \frac{\beta_1}{(2 - \beta_1)^{3/2}}. \quad (47)$$

При высокой частоте  $\omega_k < \omega < \omega_{VB}$ , преобладают магнито-компрессионные по своей природе возмущения. При  $\bar{\omega}_{VB} > \omega_b$ , если даже  $g < 0$ , может возбуждаться магнитная дрейфово-компреационная неустойчивость с отрицательной энергией, вследствие того, что поперечные градиенты давления плазмы и магнитного поля в периферийном слое  $\Delta$  имеют противоположные направления. Для подавления дрейфово-компрессионной моды при  $\bar{\omega}_v > \omega_b$  необходимо ограничить давление теплой популяции плазмы. Из /70/ это ограничение имеет вид

$$\beta_w \left( 1 - \frac{\partial \beta_w}{\partial r} / \frac{\partial \beta_h}{\partial r} \right) < \frac{12}{m^2} \frac{1}{\beta_n^2} \frac{T_w}{T_h} \frac{r_p^2}{\bar{\rho}_i^2} \quad \text{при} \quad \frac{\partial \beta_w}{\partial r} < \frac{\partial \beta_h}{\partial r}, \quad (48)$$

где  $T_w$  и  $T_h$  - температуры теплой и высокоэнергичной популяций плазмы,

$\bar{\rho}_i$  - ионный гирорадиус в середине слоя  $\Delta$ . Видно, что предел по  $\beta_w$  определяется высшей дрейфово-компрессионной модой  $m \sim \frac{r_p}{\Delta}$ . Из (48) следует, что допускается достаточно большая плотность теплой плазмы. При  $\bar{\omega}_{VB} > \omega_b$  и выполнении условия (48) дрейфово-компрессионная мода распадается на две волны. Стабилизация этих волн возможна при подходящей смеси положительной и отрицательной диссипации. Даже при  $\bar{\omega}_{VB} < \omega_b$  не исключено существование остаточных неустойчивостей /71/.

**3.2.2.** При МГД-стабилизации плазмы с высокоэнергичной популяцией с  $\beta_1 \sim 1$  по /70/ КЛР-коррекции отличаются от общепринятого КЛР-эффекта. Этот магнитокомпрессионный КЛР-эффект способен переводить коротковолновые возмущения ( $m \geq 2$ ) с отрицательной энергией в волны с положительной энергией, что позволяет при наличии проводящих стенок обеспечить полную (прочную) МГД-стабилизацию плазмы. Для этого необходимо условие  $G_{FLR}^{[m]} > 1$  для  $m \geq 2$ . Используя формулу (43), это условие можно записать в виде

$$\frac{\bar{\rho}_1^2}{r_p^2} > \frac{4}{m^2 - 1} \frac{1}{\beta_1} \frac{1 - \beta_1}{2 - \beta_1} \left( 1 + \frac{P_{||}}{P_{\perp}} \right) \frac{\Delta}{R_{kv}}, \quad (49)$$

где  $\bar{\rho}_1$  - поперечный ионный гирорадиус в середине слоя  $\Delta$ . При ожидаемом, необходимом для стабилизации,  $\beta_1 \sim 0.8$  и  $P_{||} \sim P_{\perp}$ , условие (49) почти совпадает с условием (40). По сравнению с условием стабилизации КЛР-эффектом азимутальных мод (37) условия (49, 40) в  $\frac{r_p}{\Delta}$  раз мягче. Условие (49) для низшей моды  $m = 2$  можно переписать в виде

$$\frac{\Delta}{\bar{\rho}_1} < \sqrt{\frac{3}{4}} \beta_1 \frac{2 - \beta_1}{1 - \beta_1} \frac{P_{\perp}}{P_{\perp} + P_{||}} \frac{R_k \Delta}{r_p \bar{\rho}_p}. \quad (50)$$

Для концевых пробкотронов  $\frac{R_k \Delta}{r_p \bar{\rho}_p} \sim 20$  и при  $\beta_1 \sim 0.8$ , допускается  $\Delta \sim 6 \bar{\rho}_1$ , что достаточно благоприятно для ограничения микroneустойчивостей.

Для полной (прочной) МГД-стабилизации необходимо не только  $g < 0$ , но и для надежности  $G_{FLR}^{[2]} > 1$ , поскольку КЛР-эффект наряду с проводящими стенками ограничивает возбуждения с отрицательной энергией. Используя выражения (43,45) соотношение (47) можно переписать в виде:

$$\frac{\omega_{VB}^{(m)}}{\omega_b} = \frac{2m}{3} \sqrt{G_{wall}^{(1)} \cdot G_{FLR}^{(2)}} \frac{(1-\beta_1)^{2/3}}{(2-\beta_1)^2} \left(1 + \frac{p_{\parallel}}{p_{\perp}}\right) \frac{z_p}{r_p} \sqrt{\frac{r_p}{R_{kv}} \frac{r_p}{\Delta}}, \quad (51)$$

где  $m$  означает номер гармоники частоты градиентного дрейфа. Из (51) видно, что при выполнении условий прочной стабилизации  $G_{wall}^{(1)} > 1$  и  $G_{FLR}^{(2)} > 1$  при достаточно высоком значении  $\beta_1$  всегда можно достичь  $\bar{\omega}_{VB} < \omega_b$ . Так, при

$$\beta_1 \sim 0.8 \text{ и } \frac{r_p}{R_{kv}} \frac{r_p}{\Delta} < 1, \quad \frac{z_p}{r_p} \sim 5$$

$$\bar{\omega}_{VB}^{(1)} < 0.2 \cdot \sqrt{G_{wall}^{(1)} \cdot G_{FLR}^{(2)}} \cdot \omega_b.$$

Если  $\bar{\omega}_{VB}^{(1)} < \omega_b$ , мода  $m = 1$  дрейфово-компрессионной неустойчивости не возбудится /70/.

В теоретическом анализе /70/ не учитывалось равновесное электрическое поле в плазме. В естественных условиях в амбиполярной ловушке на периферии плазмы поперечное электрическое поле  $E_{\perp} > 0$  (направлено по радиусу). При этом частота электрического дрейфа  $\bar{\omega}_{E\times B}$  имеет противоположное направление с частотой градиентного дрейфа  $\bar{\omega}_{VB}$ . Их отношение в середине слоя  $\Delta$

$$\frac{\bar{\omega}_{VB}}{\bar{\omega}_{E\times B}} = -\frac{\beta_1}{2-\beta_1} \cdot \frac{T_{\perp h}}{e\bar{E}_{\perp}\Delta}. \quad (52)$$

Электрическое поле не усиливает возбуждение, по крайней мере, дрейфово-компрессионной неустойчивости, если  $|\bar{\omega}_{E\times B}| < |\bar{\omega}_{VB}|$  или

$$\bar{E}_{\perp} < \frac{\beta_1}{2-\beta_1} \cdot \frac{T_{\perp h}}{e\Delta}. \quad (53)$$

Для определения влияния электрического поля на МГД-стабилизацию в общем виде необходим дополнительный анализ.

Таким образом, в осесимметричном пробкотроне возможна прочная (без возбуждений с отрицательной энергией) стабилизация высокотемпературной плазмы высокого давления в проводящем кожухе, если величины  $\beta$  и  $\rho_i$  достаточно велики (условие 42), а давление популяции с более низкой температурой ограничено (условие 48).

3.3. Кайзером и Перлстейном проведен анализ стабилизации проводящими стенками с учетом КЛР-эффектов баллонной моды  $m = 1$  анизотропной и изотропной плазмы с  $\beta \sim 1$  в центральном соленоиде осесимметричной ам-

биполярной ловушки /72/. Из линеаризованных МГД-уравнений с геометрическими и КЛР-коррекциями, полученных ранее в /73/ и других работах, синтезировано уравнение для определения устойчивости моды  $m = 1$  плазмы высокого давления в осесимметричном поле. Из этого уравнения получено баллонное уравнение (11 в работе /72/). Для ступенчатого радиального профиля давления и изотропного распределения, исходя из этого уравнения баллонное уравнение можно записать в виде:

$$\left[ (\Lambda y)' + \frac{B}{B_v} \Phi'' + \left( \frac{\omega^2 \rho}{B_v^2} - \beta \frac{r_p''}{r_p} \right) y \right] r_p B_v, \quad (54)$$

где  $\Lambda = \frac{\psi_w + \psi_p}{\psi_w - \psi_p}$ ;  $B$  и  $B_v$  - магнитное поле в плазме и в вакууме, соответ-

ственно;  $\Phi = r_p B_v \xi$ ,  $y = r_p B_v \xi$ ,  $\xi$  - поперечное смещение,  $\rho$  - массовая плотность плазмы, штрих означает дифференцирование по оси  $z$ . Исходному уравнению соответствуют естественные граничные условия на торцах ловушки  $\Phi'(\pm z_m) = 0$ , где  $z_m$  - половина длины ловушки. Эти граничные условия проанализированы в работе /74/, где показано, что эти условия вытекают из зануления продольных токов возмущения в плазме на торцах. В приводимых ниже соотношениях введены дополнительные граничные условия  $B'_v(\pm z_m) = 0$ . При этом для изотропной плазмы, в которой  $p'(z) = 0$ ,  $B'(\pm z_m) = 0$  и  $y(\pm z_m) = 0$ . Интегрируя (54) по  $z$  с весом  $1/r_p B_v$  с указанными граничными условиями получим

$$\int_{-z_m}^{z_m} y dz \left[ \frac{\tau \beta}{1-\beta} \left(1 - \frac{1}{2} \beta\right) \frac{y'}{y} + \frac{1}{2} \frac{\tau^2 \beta^2}{(1-\beta)^2} \left(1 - \frac{1}{2} \beta\right) + \beta \frac{r_v''}{r_v} - \frac{\omega^2 \rho}{B_v^2} \right] = 0, \quad (55)$$

где  $\tau = \frac{B'_v}{B_v}$ .

При этом замена слагаемого с кривизной произведена по соотношению /72/

$$\frac{r_v''}{r_p} = \frac{r_v''}{r_v} + \frac{B_v}{\eta} \left( \frac{\eta'}{B_v} \right)', \quad \text{где } \eta^2 = \frac{B_v}{B}.$$

В параксиальном приближении

$$\frac{r_v''}{r_v} = \frac{3}{4} \tau - \frac{1}{2} \frac{B_v''}{B_v},$$

и уравнение (55) можно представить в виде:

$$\int_{-z_m}^{z_m} y dz \left[ \frac{\tau\beta}{1-\beta} \left( \frac{3}{2} - \beta \right) \frac{y'}{y} + \frac{\tau^2\beta}{(1-\beta)^2} \left( \frac{3}{2} - \beta \right) \left( \beta - \frac{1}{2} \right) - \frac{\omega^2\rho}{B_v^2} \right] = 0. \quad (56)$$

В случае близкого кожуха  $\psi_w \rightarrow \psi_p$  величина  $\Lambda \rightarrow \infty$ . При этом, как следует из (54),  $y'(z) = 0$ . Условие устойчивости  $\omega^2 > 0$  из (55) можно записать без точного вычисления интеграла в виде

$$\frac{1}{2} \frac{\tau^2\beta^2}{(1-\beta)^2} \left( 1 - \frac{1}{2}\beta \right) + \beta \frac{r_v''}{r_v} > 0 \quad (57)$$

Поскольку  $\frac{r_v''}{r_v} < 0$ , обозначим  $\left| \frac{r_v''}{r_v} \right| = \frac{1}{r_v R_v}$ , где  $R_v > 0$ .

Для изотропной плазмы  $p' = 0$  и  $\beta' = -2\tau\beta$ .

Заменяя, соответственно,  $r_v''$  и  $\tau$  условие (57) можно переписать без точного вычисления интеграла в виде

$$\frac{1}{8} \cdot \frac{1 - \frac{1}{2}\beta}{\beta(1-\beta)^2} \cdot \beta'^2 r_v R_v > 1. \quad (58)$$

Сравнивая это выражение с (45) мы видим, что левая часть (58) точно совпадает с членом  $G_{wall}^{III}$  для изотропной плазмы в условии устойчивости Берка и др. /70/. Из уравнения (56) при  $y' = 0$  ( $r_p = r_w$ ) для устойчивости моды  $m = 1$  изотропной плазмы необходимо  $\beta > \frac{1}{2}$ .

Знак первого члена в уравнениях (55, 56) определяется знаком множителя

$$\tau \frac{y'}{y}.$$

$$\tau \frac{y'}{y} = \sqrt{2\psi_p} \left( \frac{\tau^2}{2} \frac{1-2\beta}{1-\beta} + \tau \frac{\xi'}{\xi} \right). \quad (59)$$

Нетрудно показать, что  $\tau \frac{\xi'}{\xi} < 0$ , а 1-ый член этого выражения тоже отрицательный при  $\beta > \frac{1}{2}$ . Следовательно,  $\tau \frac{y'}{y} < 0$ . При удаленной стенке величина  $y'(z) \neq 0$ . Из (55, 56) следует, что при удалении стенки и соответствующем росте 1-го отрицательного члена минимальное значение  $\beta$  для МГД-стабилизации должно становиться заметно больше 1/2.

Разделим баллонное уравнение (54) на  $ur_p B_v$  и проинтегрируем по  $z$  при

$\Lambda = Const$ . В результате получим соотношение между  $y'$  и  $\Lambda$ .

$$\int_{-z_m}^{z_m} dz \left[ (\Lambda + 1 - \beta) \left( \frac{y'}{y} \right)^2 - \frac{1}{4} \frac{\tau^2\beta^2}{(1-\beta)^2} \alpha + \frac{\omega^2\rho}{B_v^2} \right] = 0, \quad (60)$$

$$\text{где } \alpha = \frac{1}{\beta} [1 + (1-\beta)(7\beta - 6)].$$

На границе устойчивости  $\omega^2 \geq 0$  из (60) найдем для усредняемых величин

$$\frac{y'}{y} \leq -\frac{1}{2} \frac{\tau\beta}{(1-\beta)} \sqrt{\frac{\alpha(\beta)}{\Lambda + 1 - \beta}}. \quad (61)$$

В (61) перед корнем оставлен знак минус вследствие неравенства  $\tau \frac{y'}{y} < 0$ .

После подстановки (61) в (55) получим приближенное условие устойчивости, которое можно записать (без точного вычисления интеграла) в форме (45)

$$G_{wall}^{III} = \frac{1}{8} \frac{1 - \frac{1}{2}\beta}{\beta(1-\beta)^2} \left( \frac{\partial\beta}{\partial z} \right)^2 r_v R_v \left( 1 - \sqrt{\frac{\alpha(\beta)}{\Lambda + 1 - \beta}} \right) > 1. \quad (62)$$

При  $\beta \rightarrow 1$ ,  $\alpha \rightarrow 1$  и при  $\Lambda \rightarrow 1$  ( $r_w \rightarrow \infty$ ) плазма становится МГД-неустойчивой.

Подстановкой (61) в (56) можно получить оценку (без вычисления интеграла) условия устойчивости в виде

$$\beta > \frac{1}{2 - \sqrt{\frac{\alpha(\beta)}{\Lambda + 1 - \beta}}}. \quad (63)$$

При  $\beta \geq 0.65$  величина  $\sqrt{\alpha} \approx 1$  с точностью до ~10%. Поскольку при  $\beta < 0.544$

$\alpha < 0$ , формулы (61-63) непригодны для больших значений  $\Lambda$ . Для  $\frac{r_w}{r_p} \gtrsim 1.4$  ( $\Lambda \gtrsim 3$ ,  $\beta \gtrsim 0.6$ ) оценка  $\beta$  на границе устойчивости по формуле (63) с точностью до нескольких процентов совпадает с результатами численного решения уравнения (54) в работе /75/, рис. 4в.

3.4. Для улучшения МГД-стабилизации проводящими стенками плазмы в центральном соленоиде амбиполярной ловушки Ли, Кеснер и ЛоДестро предложили использовать мелкомасштабную гофрировку магнитного поля вдоль соленоида /75/. На основе работы /72/ они записали выше приведенное уравнение стабильности (56) при  $\Lambda = \infty$  ( $y' = 0$ ) в виде

$$\int_{-z_m}^{z_m} dz \left[ \left( \frac{B'_v}{B_v} \right)^2 \frac{\beta}{(1-\beta)^2} \left( \frac{3}{2} - \beta \right) \left( \beta - \frac{1}{2} \right) - \frac{\omega^2\rho}{B_v^2} \right] = 0. \quad (64)$$

При этом они обратили внимание на множитель  $B_v'^2$  как весовую функцию, усиливающую вклад локальных значений  $\beta > \frac{1}{2}$  в интеграл устойчивости. В /75/ приведены результаты численных расчетов зависимости величины  $\beta$  на границе устойчивости от гофрировки для различных относительных полей в пробах центральной ловушки и для различных зазоров между плазмой и стенкой. Для значительных пробочных отношений ловушки  $R \sim 4$  гофрировка снижает минимально необходимое для стабилизации значение  $\beta$  на десятки процентов. Величина  $(B_v')^2 \propto N^2 B_r^2$ , где  $N$  - число гофр,  $B_r$  - амплитуда отклонения магнитного поля в гофрах от среднего значения. Амплитуда  $B_r$  ограничивается тем, что в минимумах поля значение  $\beta$  не должно заметно превышать единицу. Пространственная частота гофр ограничивается необходимостью радиального проникновения вариаций магнитного поля в плазму на глубину радиального спада давления плазмы.

Гофрировка магнитного поля может улучшать стабилизацию проводящими стенками не только МГД-моды  $m = 1$ , но и более высоких мод  $m \geq 2$ .

Это следует из условия (44)  $G_{wall}^{[m]} > 1$ , в котором множитель  $\left(\frac{\partial \beta_1}{\partial z}\right)^2 = 4\beta^2 \left(\frac{B_v'}{B_v}\right)^2$  при усреднении благодаря мелкомасштабной гофрировке будет увеличиваться для любых мод  $m < \frac{r_p}{\Delta}$ .

3.5. Приведенные условия стабилизации проводящим кожухом рассчитаны для плазмы с резкой границей. Для реальных профилей плазмы, когда ее давление на периферии плавно спадает с радиусом, стабилизирующее воздействие проводящего кожуха ослабляется. В работе /74/ на основе /75/ получены зависимости критического  $\beta$ , требуемого для устойчивости моды  $m = 1$ , для некоторого класса радиальных профилей от толщины периферийного переходного слоя при различных значениях  $\frac{r_w}{r_p}$ . При изменении профиля плазмы от резкой границы до плавного перехода толщиной порядка радиуса плазмы критическое  $\beta$  возрастает от 0.5 до 0.75 для  $r_p = r_w$ ; при  $r_w = 1.3r_p$  критическое  $\beta$  возрастает от 0.6 до ~ 0.82.

В /76/ рассмотрено влияние уменьшения длины проводящего кожуха на стабилизацию МГД-моды  $m = 1$  изотропной плазмы. Показано, что в ловушке с большим пробочным отношением достаточно иметь проводящие стенки, относительно близкие к плазме, только на участке с неблагоприятной кривизной. Для ловушки с косинусоидальным распределением магнитного поля с пробочным отношением  $R = 8$  не наблюдается заметного увеличения критического  $\beta$  при уменьшении длины проводящего кожуха от полной длины до четверти длины ловушки.

В /77/ исследовано поведение кольца с током в проводящем кожухе с конечной проводимостью. Показано, что нормальная прецессионная мода устойчива. Однако после затухания наведенного в кожухе кругового тока (нулевой моды) имеет место медленный поперечный дрейф, развивающийся за время затухания наведенного тока в кожухе. При толщине проводящей стенки  $d_w$  меньше глубины проникновения в стенку магнитного поля время развития этой медленной неустойчивости

$$\tau_{sl} \sim 2\pi \times 10^{-9} \sigma r_w d_w, \quad (65)$$

где  $\sigma$  - удельная электрическая проводимость кожуха в  $(\text{ом} \cdot \text{см})^{-1}$ . Для  $r_w \sim 100 \text{ см}$   $\tau_{sl} \sim 0.1 \text{ с}$ . В /78/ исследована неустойчивость из-за резистивности стенки изотропной плазмы в одиночной открытой ловушке, стабилизированной проводящим кожухом и мелкомасштабной гофрировкой, с  $\beta$  больше критического. Установлено, что при конечной проводимости стенок развивается медленная неустойчивая мода  $m = 1$ , время развития которой оценивается величиной  $\tau_{sl}$  по формуле (65). Для подавления медленной неустойчивости требуется использовать дополнительный метод стабилизации.

3.6. Поскольку полная стабилизация плазмы имеет место только при  $\beta$  больше критического, то возникает задача поддержания устойчивости во время накопления плазмы. Хотя может существовать полоса устойчивости по  $\beta$  при его величинах меньше критического значения, однако при подходе к критическому  $\beta$  всегда существует полоса неустойчивости /70/. Поэтому необходимо в период накопления плазмы использовать дополнительные методы стабилизации или, возможно, накапливать плазму в стабилизирующих пробкотронах достаточно быстро. Если накопление производить за время, определяемое

формулой (65), то в неустойчивой полосе при подкритических, но достаточно высоких  $\beta$ , поперечное положение плазмы может стабилизироваться магнитным осесимметричным полем с благоприятной кривизной, возбужденным на- веденными круговыми токами в кожухе. При этом не ясно, будет ли устойчи- вым продольное положение плазмы в кожухе с конечной проводимостью.

В /79/ исследована низкочастотная устойчивость плазмы в осесимметричных пробкотронах с конечным, но небольшим  $\beta$  по перестановочным, вращательным и баллонным модам в параксиальном приближении с учетом слабых эффектов КЛР и проводящих стенок. Аналитические результаты подкреплены и расширены численными расчетами. Показано, что при конечном давлении плазмы непосредственно около проводящей боковой стенки может быть стабилизирована мода  $m = 1$  эффектом КЛР вследствие нулевого сме- щения плазмы около стенки и возбуждения радиальной моды. При гауссов- ском радиальном распределении горячей плазмы исследовано влияние на ее устойчивость гало из холодной плазмы. Если гало имеет хороший электриче- ский контакт с торцевыми стенками за пробками и азимутальные моды в нем остаются устойчивыми, то в горячей плазме азимутальная мода  $m = 1$ , как и моды  $m \geq 2$ , сопровождается радиальной модой. В результате она стабилизи- руется эффектом КЛР.

На установке ММХ проведен эксперимент с плотной низкотемпературной плазмой в осесимметричном пробкотроне с проводящим кожухом при  $r_p = r_w$  /80/. При повышении  $\beta$  с 0.25 до 0.35 наблюдался переход плазмы из неустойчивого состояния в устойчивое. Достигнуто  $\beta = 0.6$ . Однако темпера- турное время жизни плазмы было коротким около 5 мс. Поэтому здесь речь идет только о достижении начальной МГД-устойчивости. Кроме того, рас- четное критическое  $\beta$  для стеночной стабилизации моды  $m = 1$  составляет 0.85. Не исключено, что наблюдаемая в этом эксперименте МГД-устойчивость плазмы при  $\beta$  существенно ниже критического объясняется эффектами бли- зости проводящей стенки и гало, проанализированными в /79/.

Результаты /79, 80/ позволяют надеяться реализовать относительно ус- тойчивый режим накопления плазмы в стабилизирующих пробкотронах до критического  $\beta$  кольцевыми лимитерами или стабилизацией гало. Стабилиза- ция гало может осуществляться кольцевыми газоразрядными ячейками с

замкнутым холловским током на запробочных приемниках плазмы /81/ или запробочным магнитным полем с благоприятной кривизной /82/.

В ряде экспериментов в пробкотронах с удаленными стенками (ELMO, SM-1, STM и др.) были ЭЦР-нагревом получены кольцевые и дискообразные анизотропные популяции электронов с высоким  $\beta$  /83-85/. Эти результаты позволяют надеяться достигать критическое  $\beta$  электронной популяции без до- полнительных способов стабилизации. В стабилизирующих пробкотронах ам- биполярной ловушки может кратковременно на время накопления всей плазмы до критических  $\beta$  создаваться анизотропная дискообразная популяция вы- сокоэнергичных электронов с  $\beta$  больше критического. Как следует из форму- лы (46) при значительной анизотропии популяции критическое  $\beta$  будет отно- сительно невысоким. Поэтому нетрудно обеспечить запас устойчивости, доста- точный для МГД-устойчивости плазмы во всей ловушке в период ее накопле- ния до критических  $\beta$ .

Другой способ стабилизировать плазму в процессе накопления, предло- женный в /70/, состоит в кратковременном возбуждении поперечных мульти- полых магнитных полей в стабилизирующих пробкотронах. Благодаря эф- фекту КЛР для стабилизации плазменного столба допускается большое число полюсов. В результате даже при включенных мультипольных обмотках в пери- од накопления нарушение аксиальной симметрии будет небольшим и можно обойтись без цилиндрических магнитных полей.

Возможно так же использование МГД-якорей в виде полукаспов, которые пристыковываются к концам амбиполярной ловушки. В полукаспах плазма с высоким  $\beta$  может поддерживаться только в период накопления плазмы в ло- вушке. Устойчивость плазмы к поперечному смещению в целом (мода  $m = 1$ ) обеспечивается, в соответствии с энергетическим принципом, вкладом непа- раксиального члена, который в полукаспе является существенным, в потенци- альную энергию возмущения /86/. Запас устойчивости полукаспов может ком- пенсировать дефицит устойчивости всей накапливаемой плазмы и может быть обеспечена стабильность желобковых мод во всей ловушке.

В стационарном режиме полукаспы без собственной плазмы могут ста- билизировать медленную поперечную неустойчивость вытекающим из ловуш- ки и протекающим по полю с большой благоприятной кривизной в полукас-

пах потоком плазмы. Без полукаспов медленная неустойчивость может стабилизироваться аналогично вытекающим потоком в запробочном расширяющемся магнитном поле с благоприятной кривизной /82/. Медленную неустойчивость можно стабилизировать эффектом line-tying, используя выше упоминаемые кольцевые газоразрядные ячейки /81/ на приемниках плазмы в стационарном режиме. Возможно так же подавление медленного дрейфа плазмы системой с обратной связью. Однако это может привести к заметному снижению надежности стационарной работы амбиполярной ловушки.

**3.7. Общая схема МГД-стабилизации плазмы высокого давления в осесимметричной амбиполярной ловушке** должна выбираться с учетом обеспечения наилучших условий поддержания амбиполярных барьеров для продольного удержания плазмы. В /87/ было предложено совместить барьерные концевые пробкотроны с МГД-якорями. Для этого их выполнить осесимметричными с проводящим кожухом. В средней плоскости барьерных пробкотронов формируется термобарьер дискообразной анизотропной популяцией высокогенергичных электронов. МГД-мода  $m = 1$  может стабилизироваться этой популяцией электронов, если значение  $\beta$  этой популяции будет достаточно высоким.

Критическое  $\beta$  при  $\frac{p_{\perp}}{p_{||}} = 4$  и  $r_p = r_w$  составляет около 0.32, как это

следует из формулы (46). В проекте амбиполярного реактора MARS для электронной популяции в термобарьере  $\beta = 0.5$ . Таким образом имеется запас по  $\beta$  для реализации  $r_w > r_p$  и для обеспечения запаса устойчивости (при  $r_p = r_w$ ,  $G_{wall}^{II} \approx 2.7$ ). Устойчивость высоких мод  $m \geq 2$  может быть обеспечена плашущимися высокогенергичными ионами и пролетными ионами из центрального соленоида за счет КЛР-эффектов. Сценарий накопления устойчивой плазмы высокого давления во всей ловушке может быть достаточно простым. Сначала создается электронная популяция в барьерных пробкотронах с  $\beta$  больше критического, затем накапливаются плашущиеся ионы, формируются барьеры. После этого накапливается и нагревается плазма в центральном соленоиде. Благодаря гофрировке магнитного поля соленоида в нем может поддерживаться плазма с высоким  $\beta$ .

В случае невозможности совмещения барьерных пробкотронов с МГД-якорем необходимы дополнительные МГД-стабилизирующие пробко-

троны - якоря. Во избежание неустойчивости на запертых частицах /88,89/ предпочтительно установить эти пробкотроны между центральным соленоидом и барьерными пробкотронами. Через эти встроенные МГД-якоря будет простираться до барьеров плотная плазма центрального соленоида. Рассеяние высокогенергичных ионов стабилизирующей популяции в каждом якоре на этой плотной плазме сокращает время их жизни. В результате мощность для поддержания ионных популяций в якорях с высоким  $\beta$  для МГД-стабилизации существенно возрастает /87/.

В стабилизированной проводящими стенками плазме с высоким  $\beta$  в гофрированном соленоиде неустойчивость на запертых частицах может не развиваться /90/. Это позволяет присоединить стационарные МГД-якоря к концам ловушки последовательно за барьерными пробкотронами с низким  $\beta$ . В таких якорях время жизни стабилизирующей ионной популяции будет определяться рассеянием ионов только на частиках популяции. Мощность на поддержание этой популяции будет в несколько раз меньше, чем во встроенных якорях по предыдущей схеме. Выгодно принимать магнитное поле в центре концевых якорей минимальным, а пробочное отношение максимальным.

Однако концевые якоря в этой схеме не позволяют накопить плазму в соленоиде до  $\beta$  выше критического, поскольку при низких  $\beta$  в ней будет развиваться неустойчивость на запертых частицах. Поэтому необходим дополнительный кратковременный работающий стабилизирующий пробкотрон, встроенный в центр соленоида. Одновременно через этот пробкотрон можно подогревать плазму в соленоиде до термоядерной температуры. Сценарий ввода амбиполярной ловушки в устойчивый стационарный режим может быть следующим. Сначала вводятся в стабилизирующий режим концевые якоря. Затем запускаются барьерные пробкотроны и центральный встроенный якорь-нагреватель. После накопления и нагрева плазмы в соленоиде до  $\beta$  выше критического якорь-нагреватель выключается.

#### 4. ОГРАНИЧЕНИЕ ПОПЕРЕЧНЫХ ПОТЕРЬ ПЛАЗМЫ

Полная осесимметричность ловушки исключает поперечные неоклассические потери плазмы. Реально такие потери будут определяться точностью из-

готовления и сборки магнитной системы и могут быть ограничены до требуемого уровня. Поперечный перенос плазмы будет определяться диффузией вследствие турбулентности плазмы. Наиболее опасной в длинном соленоиде является дрейфовая низкочастотная неустойчивость плазмы /91/. Эта неустойчивость может подавляться при высоком  $\beta$  /92/ и широм радиального электрического поля. Подавление дрейфовой неустойчивости широм электрического поля и соответствующее уменьшение поперечных потерь плазмы было реализовано на установке GAMMA-10 /21/. Поперечное время жизни ионов в керне плазмы достигало значения  $\tau_{\perp} = (3 \times 10^4 - 10^5) \tau_{Bohm}$  /21,10/. На небольшой амбиполярной ловушке HIEI /35/ наблюдалось значительное увеличение шири электрического поля на периферии плазмы при положительном смещении потенциала лимитера. При этом снижался уровень дрейфовой турбулентности при повышенном градиенте плотности, а поперечное время жизни плазмы возрастало на порядок /93/. Высокочастотные неустойчивости менее опасны. Это показано, в частности, для электромагнитных волн в ионно-циклotronном диапазоне частот /94/.

По аномальному электронному теплопереносу имеются обнадеживающие экспериментальные результаты. Из измерений энергетического времени жизни основной популяции электронов в соленоиде установки GAMMA-10 /19/ следует, что энергетическое время удержания электронов (включая поперечные потери) может достигать величины  $\tau_{ec} \sim 10^4 \tau_{Bohm}$ .

Если в плазме низкого давления основным механизмом аномального поперечного переноса плазмы является электростатическая дрейфовая турбулентность, то в плазме с высоким  $\beta \sim 1$  основной причиной аномального поперечного переноса может стать электромагнитная турбулентность. В плазме с магнитной турбулентностью может быть значительным аномальный электронный теплоперенос.

Обнадеживающим обстоятельством является идеальная изометрия осесимметричной ловушки /95/. Поэтому в ней отсутствуют вторичные плазменные токи, текущие вдоль силовых линий магнитного поля, не могут образовываться магнитные острова и области стохастичности магнитных силовых линий. Результаты теоретического анализа /70/, позволяют надеяться, что при выполнении условий полной (прочной) стабилизации, когда подавляются не только МГД-подобные и дрейфокомпрессионные неустойчивости, но и не

возбуждаются волны с отрицательной энергией, низкочастотная электромагнитная турбулентность будет на очень низком уровне.

В экспериментальном реакторе на основе токамака ITER с радиальным полуразмером плазмы в 2.8 м принято удовлетворительное отношение  $\frac{\tau_e}{\tau_{Bohm}} \sim 10^3$ . Чтобы создать амбиполярный реактор с радиусом плазмы в соленоиде около 1 м, необходимо достичь в нем отношение  $\frac{\tau_e}{\tau_{Bohm}}$  более чем на порядок выше.

**ЗАКЛЮЧЕНИЕ.**

Начиная с 50-х до конца 80-х годов в мире велись интенсивные теоретические и экспериментальные исследования по открытым ловушкам. Экспериментальные исследования начались на осесимметричных ловушках. В 1962 г. М.С.Иоффе с сотрудниками установил принцип "минимума В" /96/. На этой основе стали строить открытые ловушки с мультипольными поперечными магнитными полями, в которых легко достигать МГД-устойчивое удержание плазмы. В 1977-1978 г. г. Д.Д.Рютов и Г.В.Ступаков разработали теорию неоклассической поперечной диффузии плазмы в ловушках с неосесимметричным магнитным полем /97/. Со временем стало ясно, что в амбиполярных ловушках с мультипольными ячейками, обеспечивающими средний минимум  $B$ , очень трудно ограничить неоклассические потери термоядерной плазмы. В 80-х годах осуществлялась интенсивная разработка методов МГД-стабилизации плазмы в осесимметричной геометрии. В разделе 3 показано, что на основе этих работ можно реализовать полностью осесимметричную ловушку с МГД-устойчивой плазмой высокого давления.

Высокая эффективность продольного удержания ионов плазмы в амби-полярных ловушках продемонстрирована экспериментально. Предстоит решить ряд задач для достижения хорошего продольного удержания энергии электронов (см. раздел 2). Наиболее неясным остается, возможно ли большое понижение плотности плазмы в термобарьерах и, особенно, в ионных барьерах относительно плотности в соленоиде. Дело здесь не столько в откачке термобарьёров, сколько в устойчивости пролетных ионов. Подчеркнем, что большое понижение плотности плазмы в барьерах необходимо не для хорошего продольного удержания энергии плазмы, а для снижения мощности ЭЦР-нагрева в амби-полярном реакторе до приемлемого уровня в  $5-10 \text{ МВт}/\text{м}^3$ . Как указано в /98/, так называемые "теплые сверхпроводники" на основе висмута, охлаждаемые жидким гелием, могут сохранять сверхпроводимость в полях вплоть до 100 тесла. Поэтому можно надеяться в недалеком будущем изготавливать пробочные катушки с полем на оси в 25-30 Тл, что позволит получать плотность пролетных ионов в термобарьерах  $n_{\text{pass}} \sim 0.03 n_c$ .

Отметим, что у амби-полярной ловушки имеется преимущество при сооружении на её основе экспериментального реактора. В экспериментальном

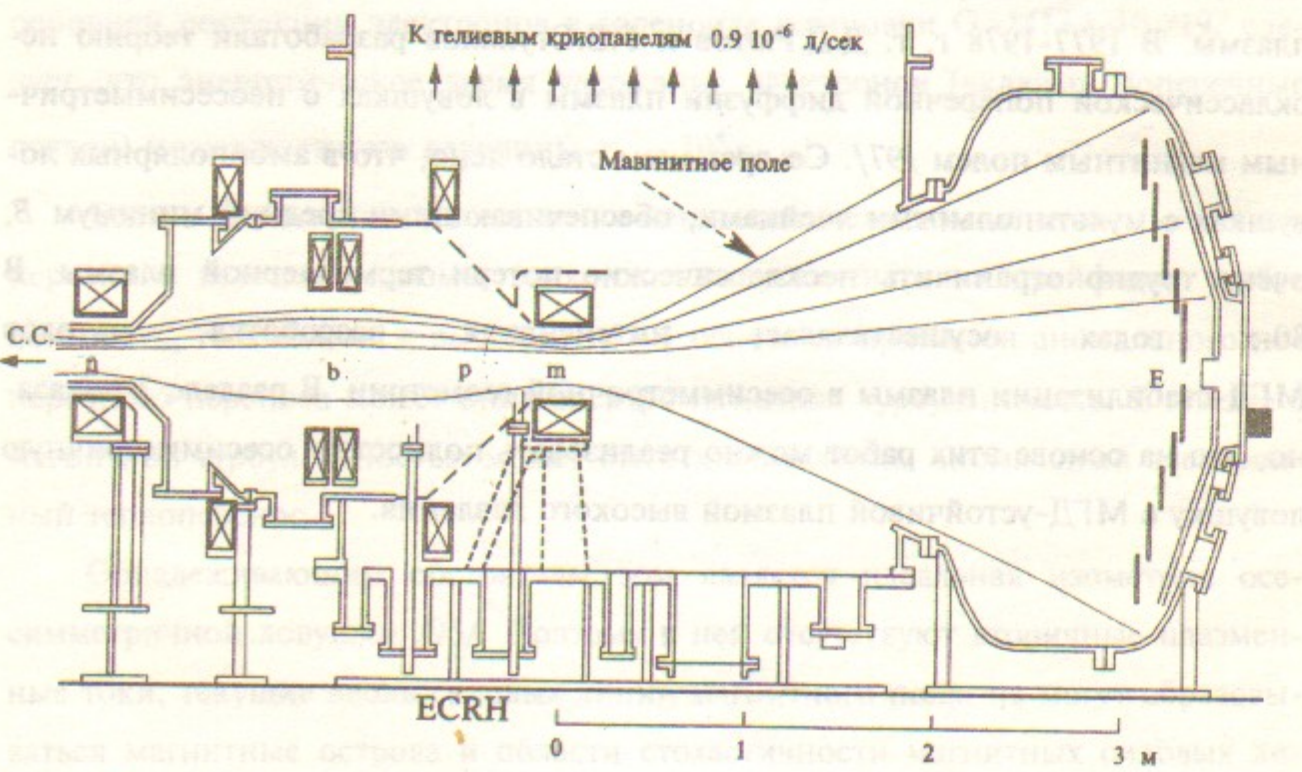


Рис.6. Схема концевого пробкотрона с запробочной областью и плазмоприёмником установки GAMMA-10 (из /31/).

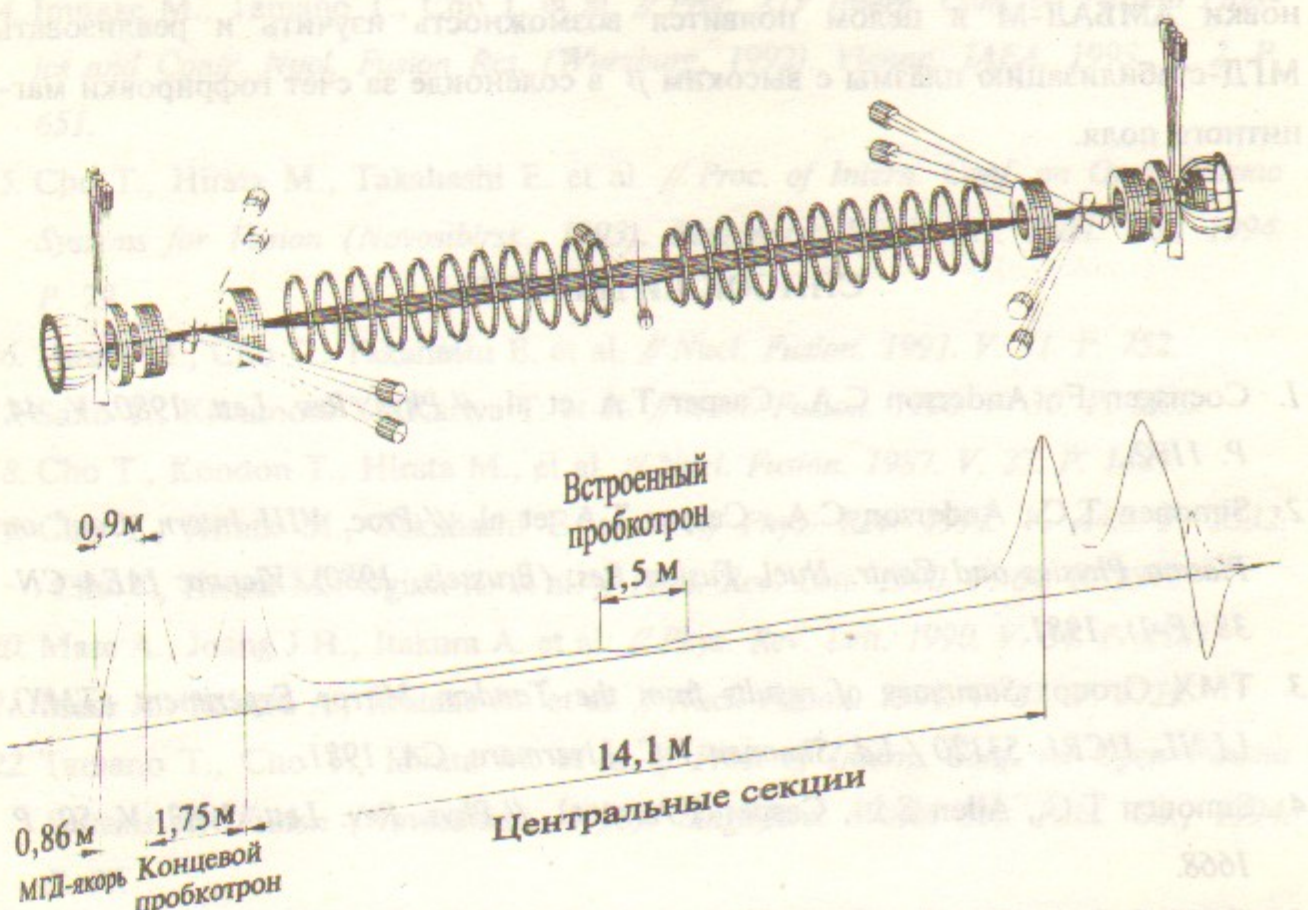


Рис.7. Схема установки АМБАЛ-М.

амби-полярном реакторе можно ограничиться небольшой длиной центрального соленоида, что значительно снизит стоимость его сооружения.

В настоящее время действуют две амби-полярные ловушки в Японии: GAMMA-10 и NIEI. В ИЯФ СО РАН ведутся эксперименты на одной концевой части амби-полярной ловушки АМБАЛ-М.

На рис. 6 представлена схема концевого барьера пробкотрона с плазмоприемником установки GAMMA-10 из /31/. Имеются хорошие возможности проводить на таком пробкотроне с мощной откачкой газа эксперименты по улучшению продольного удержания электронов в ловушке.

На рис. 7 представлена схема установки АМБАЛ-М. На этой установке имеются хорошие возможности для исследования и реализации МГД-стабилизации плазмы высокого давления в осесимметричном магнитном поле. На одной концевой части, состоящей из барьера пробкотрона и полукаспа, получена МГД-устойчивая горячая плазма низкого давления /99/. Готовится эксперимент по накоплению в пробкотроне высокотемпературной плазмы с  $\beta \sim 1$  инъекцией квазистационарных атомарных пучков. После запуска уста-

новки АМБАЛ-М в целом появится возможность изучить и реализовать МГД-стабилизацию плазмы с высоким  $\beta$  в соленоиде за счет гофрировки магнитного поля.

## СПИСОК ЛИТЕРАТУРЫ

1. Coensgen F., Anderson C.A., Casper T.A. et al. // *Phys. Rev. Lett.* 1980. V. 44. P. 1132.
2. Simonen T.C., Anderson C.A., Casper T.A. et al. // *Proc. VIII Intern. Conf. on Plasma Physics and Contr. Nucl. Fusion Res. (Brussels, 1980)*. Vienna: IAEA-CN-38 (F-I), 1981.
3. TMX Group. *Summary of results from the Tandem Mirror Experiment (TMX)*. LLNL, UCRL-53120 / Ed. Simonen T.C. Livermore, CA, 1981.
4. Simonen T.C., Allen S.L., Casper T.A. et al. // *Phys. Rev. Lett.* 1983. V. 50. P. 1668.
5. Grabb D.P., Allen S.L., Casper T.A. et al. // *Phys. Rev. Lett.* 1984. V. 53. P. 783.
6. Hooper E.B. Jr., Cohen R.H., Correll D.L. et al. // *Phys. Fluids*. 1985. V. 28. P. 3609.
7. Correll D.L. and TMX-U Group // *Proc. of Intern. School of Plasma Physics. "Piero Caldirola"*. Varenna, 1987. V. 2. P. 679.
8. Allen S.L., Baldwin D.E., Barter J.D. et al. *TMX-U Final Report*. LLNL, UCID-20981 / Ed. Porter G.D. Livermore, CA, 1988.
9. Yatsu K., Cho T., Hojo H. et al. // *Proc. of Intern. School of Plasma Physics. "Piero Caldirola"*. Varenna, 1987. V. 2. P. 659.
10. Cho T., Inutake M., Ishii K. et al. // *Nucl. Fusion*. 1988. V. 28. P. 2187.
11. Miyoshi S., Cho T., Hojo H. et al. // *Proc. XIII Intern. Conf. on Plasma Physics and Contr. Nucl. Fusion Res. (Washington, 1990)*. Vienna: IAEA, 1991. V. 2. P. 539.
12. Tamano T., Cho T., Hirata M. et al. // *Proc. of Intern. Conf. on Open Plasma Systems for Fusion (Novosibirsk, 1993)*. Singapore: World Sci. Publ. Co., 1994. P. 1.
13. Tamano T., Cho T., Hirata M. et al. // *Proc. XV Intern. Conf. on Plasma Physics and Contr. Nucl. Fusion Res. (Seville, 1994)*. Vienna: IAEA, 1996. V. 2. Paper CN-60/C-1-1.
14. Inutake M., Tamano T., Cho T. et al. // *Proc. XIV Intern. Conf. on Plasma Physics and Contr. Nucl. Fusion Res. (Wurzburg, 1992)*. Vienna: IAEA, 1993. V. 2. P. 651.
15. Cho T., Hirata M., Takahashi E. et al. // *Proc. of Intern. Conf. on Open Plasma Systems for Fusion (Novosibirsk, 1993)*. Singapore: World Sci. Publ. Co., 1994. P. 79.
16. Hirata M., Cho T., Takahashi E. et al. // *Nucl. Fusion*. 1991. V. 31. P. 752.
17. Saito T., Kiwamoto Y., Kariya T. et al. // *Nucl. Fusion*. 1990. V. 30. P. 1533.
18. Cho T., Kondon T., Hirata M., et al. // *Nucl. Fusion*. 1987. V. 27. P. 1421.
19. Cho T., Hirata M., Takahashi E. et al. // *Phys. Rev.* 1992. V. A45. P. 2532.  
Cho T., Hirata M., Ogura K. et al. // *Phys. Rev. Lett.* 1990. V. 64. P. 1373.
20. Mase A., Joang J.H., Itakura A. et al. // *Phys. Rev. Lett.* 1990. V. 64. P. 2281.
21. Mase A., Itakura A., Inutake M. et al. // *Nucl. Fusion*. 1991. V. 31. P. 1725.
22. Tamano T., Cho T., Hirata M. et al. // *Proc. of Intern. Conf. on Open Plasma Systems for Fusion (Novosibirsk, 1993)*. Singapore: World Sci. Publ. Co., 1994. P. 97.
23. Saito T., Katanuma I., Kiwamoto Y. et al. // *Phys. Rev. Lett.* 1987. V. 59. P. 2748.
24. Cohen R.H. // *Phys. Fluids*. 1983. V. 26. P. 2774.
25. Saito T., Kiwamoto Y., Tatematsu Y. et al. // *Proc. of Intern. Conf. on Open Plasma Systems for Fusion (Novosibirsk, 1993)*. Singapore: World Sci. Publ. Co., 1994. P. 121.
26. Kurihara K., Saito T., Kiwamoto Y. et al. // *Journ. Phys. Soc. of Japan*. 1989. V. 58. P. 3453.
27. Kurihara K., Kiwamoto Y., Saito T. et al. // *Journ. Phys. Soc. of Japan*. 1992. V. 61. P. 3153.
28. Saito T., Kiwamoto Y., Kurihara K. et al. // *Phys. Fluids B*. 1993. V. 5. P. 866.
29. Saito T., Kiwamoto Y., Tatematsu Y. et al. // *Phys. Plasmas*. 1995. V. 2. P. 352.
30. Yoshimura Y., Saito T., Kiwamoto Y., et al. // *Proc. of Intern. Conf. on Plasma Physics (Nagoya, 1996)*. Arakawa Printing Co., 1996. V. 2. P. 1310.
31. Kajiwara K., Saito T., Kiwamoto Y., et al. // *Proc. of Intern. Conf. on Plasma Physics (Nagoya, 1996)*. Arakawa Printing Co., 1996. V. 2. P. 1314.

32. Coensgen F.H., Clauser J.F., Correll D.L. et al. // Proc. VI Intern. Conf. on Plasma Physics and Contr. Nucl. Fusion Res. (Berchtesgaden, 1976). Vienna: IAEA, 1977. V. 2. P. 135.
33. Hershkowitz N., Majeski R., Ferron J. et al. // Proc. of Intern. School of Plasma Physics. "Piero Caldirola". Varenna, 1987. V. 2. P. 855, P. 751.
34. Lane B.G., Brau K., Casey J. et al. // Ibid. V. 2. P. 873.
35. Yasaka Y., Miyakita M., Kimoto S. et al. // Proc. XIII Intern. Conf. on Plasma Physics and Contr. Nucl. Fusion Res. (Washington, 1990). Vienna: IAEA, 1991. V. 2. P. 725.
36. Sakai O., Yasaka Y. // Phys. Plasmas. 1994. V. 1. P. 3896.  
Yasaka Y., Sakai O., Takeno H. et al. // Nucl. Fusion. 1994. V. 34. P. 1263.
37. Casper T.A., Berzing L.V. and TMX-U Group // Proc. of Intern. School of Plasma Physics. "Piero Caldirola". Varenna, 1987. V. 2. P. 771.
38. Mase A., Itakura A., Takuzawa T. et al. // Proc. of Intern. Conf. on Open Plasma Systems for Fusion (Novosibirsk, 1993). Singapore: World Sci. Publ. Co., 1994. P. 211.
39. Mase A., Ichimura M., Satake H. et al. // Phys. Fluids B. 1993. V. 5. P. 1677.
40. Yatsu K., Nakashima Y., Tsuchiya K. et al. // Proc. of Intern. Conf. on Open Plasma Systems for Fusion (Novosibirsk, 1993). Singapore: World Sci. Publ. Co., 1994. P. 147.
41. Димов Г.И., Закайдаков В.В., Кишиневский М.Е. // Физика Плазмы. 1976. Т. 2. С. 597. Fowler T.K., Logan B.G. Comments Plasma Phys. Contr. Fusion. 1977. V. 2. P. 167.
42. Pastukhov V.P. // Nucl. Fusion. 1974. V. 14. P. 3.
43. Cohen R.H. et al. // Nucl. Fusion. 1978. V. 18. P. 1229.
44. Baldwin D.E., Logan B.G. // Phys. Rev. Lett. 1979. V. 43. P. 1318.
45. Cohen R.H. et al. // Nucl. Fusion. 1980. V. 20. P. 1421.
46. Cohen R.H. // Nucl. Fusion. 1983. V. 23. P. 1301.
47. Сивухин Д.В. // Вопросы теории плазмы / Под ред. Леонтовича М.А. М.: Атомиздат, 1964. Вып. 4. С. 81.
48. Бронштейн И.М., Фрайман Б.С. Вторичная электронная эмиссия. М.: Наука, 1969.
49. Добрецов Л.Н., Гомоюнова М.В. Эмиссионная электроника. М.: Наука, 1966.
50. Baragiolo R.A., Alonso E.A., Oliva Florio A. // Phys. Rev. B. 1979. V. 19. P. 121.
51. Ewing R.I. // Phys. Rev. 1965. V. 139. No. 6A. P. 1840.
52. Post R.F., Ryutov D.D. // Comments Plasma Phys. Contr. Fusion. 1995. V. 16. P. 375.
53. Devoto R.S., LoDestro L.L., Mirin A.A. // Nucl. Fusion. 1987. V. 27. P. 255.
54. Пеккер Л.С. Препринт № 80-161. Новосибирск: ИЯФ СО АН СССР, 1980.
55. Hamilton G.W., Logan B.G. // Comments Plasma Phys. Contr. Fusion. 1981. V. 6. P. 139.
56. Baldwin D.E. et al. // Proc. XI Intern. Conf. on Plasma Physics and Contr. Nucl. Fusion Res. (Kyoto, 1986). Vienna: IAEA, 1987. V. 2. P. 293.
57. Shabrov N.V., Khvesjuk V.I., Lyakhov A.N. // Proc. of Intern. Conf. on Open Plasma Systems for Fusion (Novosibirsk, 1993). Singapore: World Sci. Publ. Co., 1994. P. 245.
58. Futch A.H., LoDestro L.L. Preprint LLNL, UCRL-87249. Livermore, 1982.
59. Тимофеев А.В. // Вопросы теории плазмы / Под ред. Кадомцева Б.Б. М.: Энергоатомиздат, 1985. Вып. 14. С. 56.
60. Арсенин В.В. // Итоги науки и техники. Сер. Физика плазмы. М.: ВИНИТИ, 1988. Т. 8. С. 49.
61. Dimov G.I. // Proc. X Europ. School of Plasma Physics, Tbilisi. Singapore: World Sci. Publ. Co., 1990. P. 157.
62. Berk H.L. // Proc. of Intern. Conf. on Open Plasma Confinement Systems for Fusion (Novosibirsk, 1993). Singapore: World Sci. Publ. Co., 1993. P. 177.
63. Christofilos N.C. et al. // Report UCRL-14282. Livermore: Lawrence Livermore Lab. 1965.
64. Haas F.A., Wesson J.A. // Phys. Fluids. 1967. V. 10. P. 2245.
65. Rosenbluth M.N., Krall N.A., Rostoker N. // Nucl. Fusion 1962 Suppl. 1962. Pt. 1. P. 143.
66. Berk H.L., Rosenbluth M.N., Wong H.V. et al. // Phys. Fluids. 1984. V. 27. P. 2705.
67. Berk H.L., Kaiser T.B. // Phys. Fluids. 1985. V. 28. P. 345.
68. Baldwin D.E., Berk H.L. // Phys. Fluids. 1983. V. 26. P. 3595.
69. Hammer J.H., Berk H.L. // Phys. Fluids. 1985. V. 28. P. 2442.
70. Berk H.L., Wong H.V., Tsang K.T. // Phys. Fluids. 1987. V. 30. P. 2681.
71. Hasegawa A. // Phys. Rev. Lett. 1971. V. 27. P. 11.
72. Kaiser T.B., Pearlstein L.D. // Phys. Fluids. 1985. V. 28. P. 907.